

Vysoká škola: strojní a textilní Liberec

Katedra: obrábění a ekonomiky

Fakulta: strojní

Školní rok: 1968/69

DIPLOMOVÝ ÚKOL

pro

Josefa Bartíká

odbor

strojírenská technologie

Protože jste splnil..... požadavky učebního plánu, zadává Vám vedoucí katedry ve smyslu směrnic ministerstva školství o státních závěrečných zkouškách tento diplomový úkol:

Název tématu: Experimentální zjištování průběhu napětí v závitových spojích
fotoelasticimetrickou metodou

Pokyny pro vypracování:

- 1) Zhodnoťte význam fotoelasticimetrické metody pro určování napětí v závitových spojích
- 2) Navrhněte metodiku zkoušek tak, aby bylo umožněno sledování vlivu vůle mezi šroubem a maticí na vznik a rozložení napětí při statickém zatížení spoje.
- 3) Vyhodnoťte výsledky získané experimentálnimi zkouškami a provedte závěry, týkající se závitových tolerancí
- 4) Proveďte úvahu o ekonomickém významu metody

Autorské právo se řídí směrnicemi MŠK pro státní závěrečné zkoušky č. j. 31-727-324/1/2 ze dne 13. července 1962-Věstník MŠK Nákl. osif 24 ze dne 31.8.1962 § 19 autorského zákona č. 115/53 Sb.

VYSOKÁ ŠKOLA STROJNÍ A TEXTILNÍ

Ustřední knihovna
LIBEREC 1, STUDENTI

V 1/70 S

Rozsah grafických laboratorních prací: výroba vzorků z umělé pryskyřice, fotografie napětí,
grafy napětí

Rozsah průvodní zprávy: cca 40 - 50 stran

Seznam odborné literatury:

DP Karel Radostný

Wiegand: Berechnung von Schraubenverbindungen

Návrhy ISO pro závitové tolerance

Milbauer: Photoelasticimetry, SNTL

Vedoucí diplomové práce: Prof.Ing.Jaroslav Draský CSc

Konzultanti: Ing. Hovorka, Hornický výzkumný ústav, Praha

Datum zahájení diplomové práce: 25. dubna 1969

Datum odevzdání diplomové práce: 10. července 1969



Prof.ing.Cyril Höschl
děkan

Prof.ing.Jaroslav Draský CSc
vedoucí katedry

VŠST Liberec

Fakulta strojní

Průběh napětí v závitovém
spoji - metodou
fotoelasticimetrickou

Katedra

KOE

DP - ST 687 / 69

D I P L O M O V Y Ú K O L

Experimentální zjišťování průběhu napětí
v závitových spojích fotoelasticimetrickou
metodou

Liberec

10. 7. 1969

Obsah.

Seznam použitých označení.	1
Úvod.	2
1. 0 Význam fotoelasticimetrické metody pro určování napětí v závitových spojích.	3
2. 0 Metodika fotoelasticimetrických zkoušek pro sledování vlivu vůle mezi šroubem a maticí na vznik a rozložení napětí při statickém zatížení spoje.	9
2. 1 Přehled závitových tolerancí	9
2. 2 Fotoelasticimetrické modely	12
2. 3 Příprava modelového materiálu - příprava peletovaru	15
2. 31 Požadavky na modelový materiál	15
2. 32 Odlehování peletovaru	16
2. 4 Výroba vlastního modelu	18
2. 41 Výroba šroubu	18
2. 42 Výroba matice	19
2. 5 Proměřování vyrobených modelů	20
2. 6 Postup při zamrazování	21
2. 7 Postup při vyhodnocování	26
2. 71 Postup při vyhodnocování jednotlivých vzorků	26
2. 72 Fotografování	30
3. 0 Vyhodnocení výsledků získaných experimentálními zkouškami a závěry týkající se závitových tolerancí	31
3. 1 Přehled naměřených rozměrů obou variant a jejich odchylek od jmenovitých rozměrů	31
3. 2 Přehled naměřených výsledků fotoelasticimetrického měření	34
3. 3 Vyhodnocení výsledků měření	55
3. 4 Závěry z měření týkající se závitových tolerancí	56

4. 0	Ekonomická úvaha	57
	Seznam příloh	58
	Seznam použité literatury	58
	Příloha č. 1	59

Seznam použitých označení.

- T_{D1} - tolerance malého průměru matice
 T_{D2}, T_{d2} - tolerance středního průměru
 d_s - výpočtový střední průměr
 γ^1 - specifická váha (kp/dm^2)
 σ - napětí (kp/cm^2)
 D - koeficient jakosti plastické hmoty
 K - optická citlivost
 E - modul pružnosti v tahu
 v - řezná rychlosť
 s - posuv
 h - hloubka třísky
 γ_1, γ_2 - hlavní modelová napětí
 λ - vlnová délka
 τ - smykové napětí
 t - tloušťka

Úvod.

U šroubového spojení přenáší 30% veškeré síly první závit. Snažíme se dosáhnout rovnoměrnější zatížení všech závitů. Jedním z faktorů ovlivňujících vnitřní napjatost šroubového spojení je vůle mezi závity šroubu a matice. Abychom mohli sledovat její vliv na únosnost spojení, je nutné mít metodu, postup jak se můžeme o rozsahu jejího působení přesvědčit. Proto jsem se v této práci zaměřil hlavně na vypracování podrobné metodiky pro porovnávací způsob ověřování vlivu závitové vůle.

1. 0 **Význam fotoelasticimetrické metody pro určevání
napětí v závitových spojích.**

Velkou budoucnost v průmyslu má automatizace výroby. Je snaha, aby se většina hmotných životních potřeb od suroviny až po hotový výrobek vyráběla v budoucnu automaticky. Nejslabším článkem v automatizaci výrobního procesu je montáž. Příklady z praxe ukazují, že automatizací montáže lze dosáhnout 50 - 70 % úspory na pracovních silách. Je třeba však podotknout, že těchto výsledků lze dosáhnout jen při výrobě velkého počtu výrobků, umožňujících rychle amortizovat pořizovací náklady na zavedení této hromadné výroby, což je z hlediska technologie a hlavně ekonomie rezidující.

Racionalizace montážních prací si vyžaduje hlubší studium i takových technologií, jejichž problematika se zdála být úplně vyčerpaná. Jednou z těchto technologií je pevné rozebiratelné šroubové spojení, které je jednou z nejrozšířenějších technologií rozebiratelného spojování.

Na průběh napětí ve šroubovém spojení má vliv:

1. dodržení výrobní tolerance šroubu a matice
2. dodržení secesnosti šroubu a matice (výosení).
3. dodržení dovoleného úhlu mezi osou matice a šroubu (vyklenění)

Známe-li průběh napětí, můžeme posoudit vhodnost navržené konstrukce (tvaru šroubového spojení). Zkouškami na únavu dynamicky namáhaných předpjatých šroubových spojů bylo zjištěno, že únavou se pořuší zpravidla šroub a zřídka kdy spojevané části (není-li jejich únavu vyvělána sekundárním vlivem, např. únavou z koreze, nebo vlivem vrubu, otlačením a pod.). Příčinu nutno vidět v tom, že závitová část šroubu je pořušena řadou vrubů. Proto je nutné všimnout si blíže napjatosti šroubů. Zvláště je to důležité pro dynamicky namáhané šrouby,

u nichž může dojít v místě špiček napětí k únavovým lemům.

Ze zkušeností je známe a zkouškami bylo potvrzeno, že při dynamickém namáhání dochází k lemům šroubů v prvním závitu v matici u 65 %, ve výběhu závitu do dříku u 20 %, a v přechodu dříku do hlavy u 15 % sledovaných šroubů. Příčinou je vrubový účinek změn průřezu.

Rezložení napětí v závitu šroubu se změní v oné části závitu, která je zašroubována do matice, nebo u závrtného šroubu do závitového otveru pro šroub. U normálních, běžných matic je šroub v matici namáhan tahem a matice tlakem. Šroub se tahem prodlužuje, matice se tlakem zkracuje. Tím se mění i steupání závitu na šroubu se zvětšuje, v matici se zmenšuje. Rozdíl, který tím vznikne, se vyrovnává ohybem závitu šroubu i matice. U ostrých závitů vyrovnání napomáhá i rozšíření matice vlivem bočních složek tlaku na skloněný bok závitu.

Se zretelem na dleuhodobé dynamické namáhání šroubů nesmíme připustit, aby docházelo ke střídavé plastické deformaci závitů. Tyto deformace by byly příčinou únavového lemu. S vyrovnaním špiček napětí plastickými deformacemi je možno počítat pouze při statickém namáhání šroubů. Napětí vzniklá při proměnlivém namáhání šroubů a deformace jimi vyvolané nesmějí překročit oblast průznamných deformací. Proto je dôležité zjistit velikost špiček napětí i prostředky k jejich snížení.

Tento složitý stav namáhání není možné početně zcela přesně zvládneut. Aby byl výpočet všeobec možný, musíme učinit zjednodušující předpoklady, např.: rezložení tahových napětí v celém průřezu šroubu je stejné; rezložení tahových nebo tlakových napětí v celém průřezu matice je také stejné.

Jednou z dalších možností jak získat poměrně ucelený a velmi názorný obraz o průběhu napětí ve stru-

ních součástech, je využít výhod zkoumání průběhu napětí metodou fotoelasticimetrickou. Na vhodnost jejího použití poukázal již v roce 1931 Stegharsten, který se sám zabýval matematickou analýzou daného problému.

Základem fotoelasticimetrie je vlastnost některých látek vykazovat dečasný dvojlem (objeveno 1816 D. Brewsterem a aplikováno na problémy pružnosti 1910 A. Mesnagerem). Dvojlem je pak dobře viditelný v polarizovaném světle. Chceme-li vysvetlovat průběh a velikost napětí v určité revinné součásti nebo konstrukci, musíme vyrobit průhledný fotoelasticimetrický model, geometricky podobný skutečnému dílu, z pleché desky vhodné, dečasně dvejlemné hmoty. Po zatížení modelu břemeny, působícími obdobně jako na skutečném díle, pozorujeme model v polarizovaném světle. Při použití bílého světla můžeme u opticky dostatečně citlivé hmoty pozorovat řadu jasně ohrazených barevných pruhů. Prosvětlením modelu monochromatickým světlem jeví se tyto pruhy jako tmavé čáry. Jsou to charakteristické pruhy pro fotoelasticimetrii - izochromaty, které můžeme interpretovat jako vrstevnice kvantitativního rozložení rezdílu hlavních napětí.

Izochromaty pedávají jasný obraz v místech, kde rezdíly hlavních napětí dosahují maximálních hodnot, i v místech nejméně namáhaných. Známe-li faktor určující velikost rezdílu hlavních napětí podél barevných pruhů (optickou citlivost umělé hmoty), můžeme vyjádřit rozdíl hlavních napětí v kterémkoliv bodě modelu, zjistíme-li řad barevného pruhu, který tímto bodem probíhá a násobíme-li ho tímto faktorem. Fotoelasticimetrie je jednou z vhodných a rychlých metod, kterou zjišťujeme okrajová puntí v dvojdimenziorních problémech. Izochromaty na okraji nezatíženého modelu určují přímo obvodová napětí. V ostatních bodech modelu zjistíme jednotlivá hlavní napětí různými doplňujícími analytickými nebo experimentálními metodami. Jako příklad analytické metody je integrace Lameových-Maxwe洛ových rovnic podél izostat a experimentální-Tesařova optická metoda.

K dořešení revinné napjatosti je nutné znát směry hlavních napětí, které jsou charakterizovány obrazem izostat. Foteelasticimetrie dává podklady ke grafické konstrukci izostat, a to pomocí dalších charakteristických čar - izoklin. Izokliny (vždy tmavé čáry) se tvoří na modelu tam, kde směry hlavních napětí jsou shodné se směry zkřížených polarizačních revin - polareidů. Jejich zakreslením, při postupném otáčení polareidů, získáme podklady pro konstrukci izostat.

Experimentální metody vyhodnocování napětí v budech uvnitř modelu vyžadují speciálních přístrojů i značné zkušenosti experimentátora. Dvojdimenzionální foteelasticimetrie můžeme též použít v některých případech i k řešení problémů trojdimenzionálních. V poslední době byly vyvinuty foteelasticimetrické metody, které umožňují řešení pružnostních problémů na trojrozměrných modelech.

Využití revinné foteelasticimetrie je neocenitelné u těch strojních součástí, které mají nepravidelné obrysy a kde hledáme u tvarových změn velikost koncentrace napětí a vrubové účinky. Zde foteelasticimetrie tvoří tedy článek mezi matematickou teorií pružnosti a pevnosti a mezi elastickými napětími v nepravidelných tvarech. Matematické analyzy můžeme použít v těch případech, kdy konstrukce nebo součásti nejsou tvarově příliš složité. Foteelasticimetrickým měřením můžeme dále velmi přesně zjistit průběh a velikost napětí hlavních na modelech různých konstrukcí, lišících se svojí stavbou od soustav prutových. Jsou to zejména v čeru strojní: kola, ozubená kola, drážky, ejnice, oka aj. Tvarově komplikované součásti jejichž statický výpočet i když přibližný, bývá pracný a obtížný. Foteelasticimetrie má své výhody i nevýhody. K jejím výhodám můžeme počítat:

1. Po zrcrováním modelu v kruhově polarizovaném světle získáme po celém rozsahu modelu obraz izochremat. Izochrematy jsou geometrická místa bodů stejně zbarvených následkem konstantního dvojlému a určují mám

geometrická místa bodů stejných rezdílů hlavních napětí. Protože rezdíl hlavních napětí je úměrný, představují i zechromaty též obraz rezložení maximálních smykových napětí po celé ploše zkoumaného modelu.

2. V přímkově polarizovaném světle získáme izokliny, které definují geometrická místa bodů v nichž směry hlavních napětí jsou rovnoběžné nebo kolmé ke směru zkřížených polarizačních revin polareidů. Definice izoklin je dána grafická konstrukce izostat, t. j. dvou vzájemně ortogonálních systémů čar, podél nichž jsou smyková napětí nulová. Izostaty jsou charakteristické čáry pro vnitřní stav napětí. Jejich tangenty udávají směry hlavních napětí v každém bodě modelu. Izostaty poskytují velmi přesná data o kvantitativním rezložení napětí na zkoušeném předmětu.
3. Tato optická metoda ukáže okamžité místa největších obvodových napětí a to i při velmi složitých tvarech, u nichž není možné dostatečně přesné analytické stanovení vnitřního a obvodového napětí. Výsledky měření mohou být srovnány například s měřenými tenzometrickými.
4. Fotelasticimetrickou analýzou získáme přehled jak po stránce hospodárnosti, tak i bezpečnosti navržených konstrukcí. Při malých změnách v obrysu modelu můžeme vyšetřit vliv změny tvaru na průběh napětí a napětí na vrubech.
5. U dvojrozměrných problémů jejichž analytické řešení by bylo velmi obtížné, je metoda fotelasticimetrického zjištění napětí nepostradatelným pomocníkem.

Její nevýhody jsou:

1. Fotelasticimetrická metoda, jako nepřímá metoda zjištění napětí, vyžaduje výrobu přesných modelů bez vnitřních knutí, správný experimentální postup a jako konečnou fázi, správnou interpretaci zjištěných dat na skutečnost. Též vyhodnocování napětí uvnitř modelu grafickými nebo početními metodami i de-

datečným doměřováním je v některých případech komplikované a pracné.

2. Realizace skutečného zatížení na modelu bývá někdy obtížná. Rovnoměrné zatížení se často nahrazuje osamělými břemeny, která vyvezují místní koncentrace napětí a částečně zkreslují skutečnost v blízkém okolí jejich působiště. Použití této metody je do určité míry omezeno nařešení napětí v mezích Hookova zákona.
3. Fotoelasticimetrické měření můžeme použít při hledání povrchových napětí jako např.: modelového vyjádření napětí vzniklého v materiálu při válcování, napětí vzniklých tepelným zpracováním i svařeváním atd.
4. Je nutné přesné provedení zatěžovacího systému, aby případné neznámé třecí síly zatěžovacího mechanizmu neovlivňovaly napětí. Též způsob přímého zatížení modelu břemeny může mít vliv na napjatest.

Závitové spojení je jeden z případů, kde bude pevnost hlavně ovlivněna vrubovými účinky (což plyne z tvaru závitu), přičemž řešení napjatesti pod účinkem vrubu, z hlediska matematické teorie pružnosti a pevnosti je velmi obtížné, je fotoelasticimetrie zatím jediným způsobem, jak se dá odpevdeně posoudit napjatest v těchto součástkách s hlavním zaměřením na maxima napěťových špiček, které rezhodují o pevnosti celého spojení. Můžeme tedy říci, že fotoelasticimetrie je jedinečný experimentální způsob pro posuzování tvarků navržených konstrukcí závitových spojení.

2. 0 Metodika fotoelasticimetrických zkoušek pro sledování vlivu vále mezi šroubem a maticí na vznik a rozložení napětí při statickém zatížení spoje.

2. 1 Přehled závitových tolerancí.

Naše strojírenství užívá dve druhé uložení a tehy a přechodné. Předmětem našich zkoušek je hybné uložení, na které je zaměřen následující přehled. Nejužívanější závitový profil používaný u nás je metrický závit podle soustavy ISO. Jeho základní profil a označení rozměrů je zobrazen v příloze č. 1. Odchylky od tohoto základního profilu vyjadřují toleranční značky se stupni přesnosti.

Příklady: toleranční značka závitu matice

Jseou-li obě toleranční značky shodné stačí jednoduchý zápis např. 6 H.

toleranční značka závitu šroubu

Za závit matice považujeme každý vnitřní závit a za závit šroubu každý vnější závit.

Uložení závitového spoje označujeme zlomkem jehož čitatel udává toleranci matice a jmenovatel toleranci šroubu.

Mezní úchylky jsou dány základní úchylkou a přidruženou úchylkou. Základní úchylka určuje polohu tolerančního pole pro matici a šroub, což je přehledně zobrazeno na obr. č. 1.

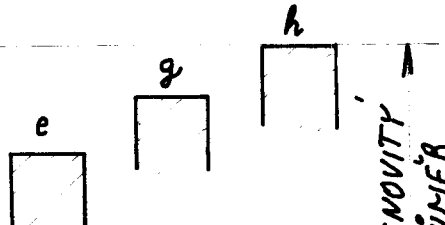


G



H

JMENOVITÝ
PRŮMĚR



JMENOVITÝ
PRŮMĚR

obr.č.1

Její velikost t.j. vzdálenost tolerančního pole od nulové čáry se vypočte podle tabulky č.1.

Značka základní úchylky	Základní úchylka m_m	Poznámka
C	$1,5 + 1,5 t$	Základní úchylka je dolní úchylkou
H	0	
G	$-(3,5 + 1,5 t)$	Základní úchylka je horní úchylkou
B	$-(1,5 + 1,5 t)$	
N	0	

tab.č.1

Kde - t je rezteč závitu v mm.

Užívané rozteče závitů: 0,2; 0,25; 0,3; 0,35; 0,4; 0,45; 0,5; 0,6; 0,7; 0,75; 0,8; 1; 1,25; 1,5; 1,75; 2,-; 2,5; 3,-; 3,5; 4,-; 4,5; 5,-; 5,5; 6 mm.

Tolerance

Tolerance závitu šroubu:

Tolerance velkého průměru závitu šroubu je dána dle tab.2.

Tolerance středního průměru závitu šroubu nezávisí jen na rezteči, ale i na velikosti závitu, tedy na velkém průměru.

Stupeň přesnosti tolerance	značka tolerance	Tolerance v μm
4	T_d (4)	$0,63 T_d$ (6)
6	T_d (6)	$180 \sqrt{t^2 - 3,15}$
8	T_d (8)	$1,6 T_d$ (6)

Tab. č. 2

Pro praktické použití jsou velké průměry závitu rozděleny do určitých reziduálních a pro každý z nich je stanoven jedený výpočetový rozměr d_s . Tím jsou tolerance určitého stupně přesnosti pro určitou reziduální závitu a pro určitý rozsah velkých průměrů závitu konstantní. Výpočetový rozměr je geometrický průměr dvou sousedních velkých průměrů, které jsou sestaveny v následující řadě: 0,99; 1,4; 2,8; 5,6; 11,2; 22,4; 45,-; 90,-; 180,-; 355,-; 600,- mm. T.zn. že např. výpočetový průměr pro reziduální rozsah velkých průměrů 22,4 až 45,- mm je

$$d_s = \sqrt{22,4 \cdot 45} = 31,7 \text{ mm}$$

Z vypočteného středního průměru pak určuje vzorec

$$T_{d2} (6) = 90 \cdot t^{0,4} \cdot d_s^{0,1} \quad [\mu m]$$

základní toleranci středního průměru závitu šroubu. Tento vzorec určuje toleranci šestého stupně přesnosti, tolerancie pro ostatní stupně přesnosti se získají násobením $T_{d2} (6)$ příslušným koeficientem viz tab. č. 3.

Stupeň přesnosti tolerance	3	4	5	6	7	8	9
koeficient	0,5	0,63	0,8	1,-	1,25	1,6	2,-

Tab. č. 3

Tolerancie malého průměru závitu se běžně neurčuje. Poloměr dna závitu $r = H/6$ až $H/8$.

Tolerance závitu matice:

Velké průměry závitu matice nejsou tolerovány. Tolerance středního průměru matice vychází z tolerance středního průměru závitu šroubu v šestém stupni přesnosti $T_{d2} (6)$, a te tak, že $T_{d2} (6)$ násobíme příslušnými koeficienty dle jednotlivých stupňů přesnosti viz tab. č. 4.

Stupeň tolerance	4	5	6	7	8
koeficient	0,85	1,06	1,32	1,7	2,12

Tab. č. 4

Tolerance malého průměru závitu matice viz. tab. č. 5.

Stupeň přesnosti tolerance	Značka tolerance	Tolerance v μm při rezteči t v mm	
4	$T_{D1} (4)$	0,2 až 0,8 l a více	
5	$T_{D1} (5)$	0,8 $T_{D1} (6)$	
6	$T_{D1} (6)$	$433t - 190t^{1,22}$	$230t^{0,7}$
7	$T_{D1} (7)$	1,25 $T_{D1} (6)$	
8	$T_{D1} (8)$	1,6 $T_{D1} (6)$	

tab. č. 5

Zakrouhllování:

Veškeré vypočtené hodnoty v edstavci 2. 1 se zakrouhlují na nejbližší hodnoty R 40.

2. 2 Fotoelasticimetrické metody.

Výsledky získané při vyšetřování napjatosti na zmenšených nebo zvětšených modelech je nutné aplikovat na skutečné dílo. Máme-li řešit úlohu napjatosti ve šroubovém spoji musíme uvažovat o všech veličinách na nichž je problém závislý.

V úlohách pružnostních vystupuje celá řada veličin. Omezíme-li se na případy statické, pak všechny fyzikální veličiny v jejichž rezměrech se vyskytuje čas, se na problému nezúčastňují.

Z teorie pružnosti vyplývá, že problémy napjatosti, jsou-li hmotové díly konstantní nebo nulové, nezávisí na elasticích konstantách materiálu. Počet fyzikálních veličin na problému se zúčastňujících se tedy podstatně zjednoduší, takže zde budou pouze:

geometrické rozměry a, b, c, (cm)

povrchové síly $\bar{P}_1, \bar{P}_2, \bar{P}_3$ (kp)

konstantní hmotové síly na jednotku objemu, spc. váha $\gamma_1 [\frac{\text{kp}}{\text{dm}^3}]$
vnitřní síly - napětí G $[\frac{\text{kp}}{\text{cm}^2}]$

Z uvedených fyzikálních veličin lze sestavit rovnice, které popisují vyšetřovaný fyzikální stav, přičemž vztah mezi ~~s~~ veličinami musí být dimenzionálně homogenní, t.zn., že rozměry všech členů v této rovnici musí být stejné.

Z teorie fyzikální podobnosti je známo, že problémy téhož druhu, jejichž bezdimenzionální argumenty jsou stejné jsou fyzikálně podobné.

Napětí G je na konstrukci funkcí uvedených fyzikálních veličin a můžeme proto napsat

$$G = \varphi(a, b, c, \dots, \bar{P}_1, \bar{P}_2, \bar{P}_3, \dots, \gamma_1)$$

nebo implicitně

$$\Phi(a, b, c, \dots, \bar{P}_1, \bar{P}_2, \bar{P}_3, \dots, \gamma_1, G) = 0$$

Pro bezdimenzionální argumenty pak nalezneme obecnou souvislost:

$$f\left(\frac{b}{a}; \frac{c}{a}; \dots; \frac{\bar{P}_2}{\bar{P}_1}; \frac{\bar{P}_3}{\bar{P}_1}; \dots; \frac{a^2 G}{\gamma_1}; \frac{a \gamma_1}{G}\right) = 0$$

z níž vyplývají pro fyzikální podobnost modelu a díla.

Bezrozměrné argumenty pro model a dílo musí být stejné, musí být proto splněny vztahy:

$$1. \quad \frac{b_m}{a_m} = \frac{b_d}{a_d} \quad ; \quad \frac{c_m}{a_m} = \frac{c_d}{a_d}$$

$$2. \quad \frac{\bar{P}_{2m}}{\bar{P}_{1m}} = \frac{\bar{P}_{2d}}{\bar{P}_{1d}} \quad ; \quad \frac{\bar{P}_{3m}}{\bar{P}_{1m}} = \frac{\bar{P}_{3d}}{\bar{P}_{1d}}$$

$$3. \frac{a_m^2 \cdot G_m}{P_m} = \frac{a_d^2 \cdot G_d}{P_d}$$

$$4. \frac{a_m \cdot \mu_m}{G_m} = \frac{a_d \cdot \mu_d}{G_d}$$

První podmínka vyjadřuje, aby geometrické rozměry díla a modelu byly ve stejném poměru, t.j. aby model byl dílu geometricky podoben.

Druhá podmínka vyžaduje, aby síly působící na model byly úměrné silám na díle a s nimi rovnobežné a působily v odpovídajících bodech.

Z třetí podmínky vyplýne při zvolených geometrických poměrech rozměrů a sil díla a modelu, měřítko pro velikost napětí. Zvětšíme-li poměr geometrických rozměrů díla a modelu $\frac{a_d}{a_m} = n$ a poměr osamělých sil působících na díle a model $\frac{P_d}{P_m} = n_1$, pak napětí G_d a G_m budou v poměru

$$\frac{G_d}{G_m} = \frac{a_m^2 \cdot P_d}{a_d^2 \cdot P_m} = \frac{1}{n^2} \cdot n_1 = \frac{n_1}{n^2}$$

a síly na jednotku plochy díla a modelu v poměru

$$\frac{P_d}{a_d^2} : \frac{P_m}{a_m^2} = \frac{n_1}{n^2}$$

Z čtvrté podmínky vychází vztah pro poměr specifických vah

$$\frac{\mu_d}{\mu_m} = \frac{a_m \cdot G_d}{a_d \cdot G_m} = \frac{1}{n} \cdot \frac{1}{n^2} \cdot n_1 = \frac{n_1}{n^3}$$

Jestliže napětí mají být stejná na modelu i na konstrukci, pak měřítko pro velikost sil na modelu je vázáno na jeho geometrické rozměry; ze vztahu $\frac{P_d}{P_m} = n_1$ dostaneme:

$$\frac{G_d}{G_m} = 1 = \frac{a_m^2 \cdot P_d}{a_d^2 \cdot P_m} = \frac{1}{n^2} \cdot n_1 \quad \text{z čehož } n_1 = n^2$$

Bude-li tedy model proti dílu zmenšen v poměru 1:n, musíme:

osamělé síly zmenšit 1:n²

síly působící na jednotku délky zmenšit v poměru 1:n

síly působící na jednotku plochy ponechat nezměněné 1:1
specifickou váhu modelu zvětšit v poměru n:1

V případech, ve kterých má specifická váha zanedbatelný vliv na rozložení napětí nemusíme 4 podmínu fyz. podobnosti uvažovat.

2. 3 Příprava modelového materiálu - příprava polotovaru.

2.31 Požadavky na modelový materiál

Fotoelasticimetrie požaduje na výrobu modelu Materiály, které mají vhodné mechanické vlastnosti (vyšší modul pružnosti E, vysokou mez pružnosti a pevnosti, malý creep, malou relaxaci, schopnost zamrazování, dobrou slévatelnost a opracovatelnost atp.) a současně dobré optické vlastnosti (t.j. vysoká optická citlivost, průhlednost, žádný nebo nanejvýše malý okrajový efekt a optický creep, minimální vnitřní pnutí, lineární závislost dvojčlenu na napětí stejnou pro tah i tlak atp.). Je zaveden t.zv. koeficient jakosti D plasticke hmoty, zahrnující modul pružnosti E a optickou citlivost K: $D = \frac{E}{K} \cdot 10^{-3}$ (cm⁻¹).

Materiál vhodný pro zhotovení modelu má mít D = 1. Z hmot u nás vyráběných našemu účelu nejlépe vyhovuje epoxidová pryskyřice CHS 110, vytvrzovaná anhydryidy kyseliny ftalové a kyseliny maleinové.

Modely používané ve fotoelasticimetrii můžeme v podstatě rozdělit do tří skupin podle složitosti tvaru:

1. jednoduché modely, které se dále neopracovávají.
Požadujeme hladký povrch bez trhlin a bublin.
2. Složité modely, které se dále opracují. Nezáleží zpravidla na jakosti povrchu. Musí se však dbát na homogenost a stejnoredost materiálu.
3. Složité modely, které nelze opracovat. Jsou to modely s tvarem komplikovaným povrchem. Zde je kritérium jakosti povrchu i vnitřku modelu nejpřísnější.

Protože epoxidová pryskyřice CHS 110, kterou budeme pro naše pokusy používat, je litým materiálem a odlity polotovar můžeme zařadit do skupiny složitých modelů, které se dále opracují, zabývejme se nyní problematikou odlévání polotovaru.

2. 32 Odlévání polotovaru.

Požadavky kladené na litý materiál:
 malá viskozita, vysoká athese, zvýšená teplota polymerace, vyšší měrná váha a toxicita tužidel.

Požadavky na kvalitu povrchu jsou základem požadavků na formu; forma má být:

- a/ neprocyšná
- b/ opatřena vhodnou antiathesní vrstvou
- c/ odolná proti teplotě ($70\text{--}120^{\circ}\text{C}$)
- d/ dostatečně pevná a tuhá
- e/ chemicky netečná

Materiály přicházející v úvahu pro výrobu forem jsou: akle, ocel, mosaz, sádra, modelit, silikonový kaučuk a.j.

Polotovary pro výrobu šroubu a matice jsou válcového charakteru, je vhodné tedy jako formu využít skleněné válcové nádoby.

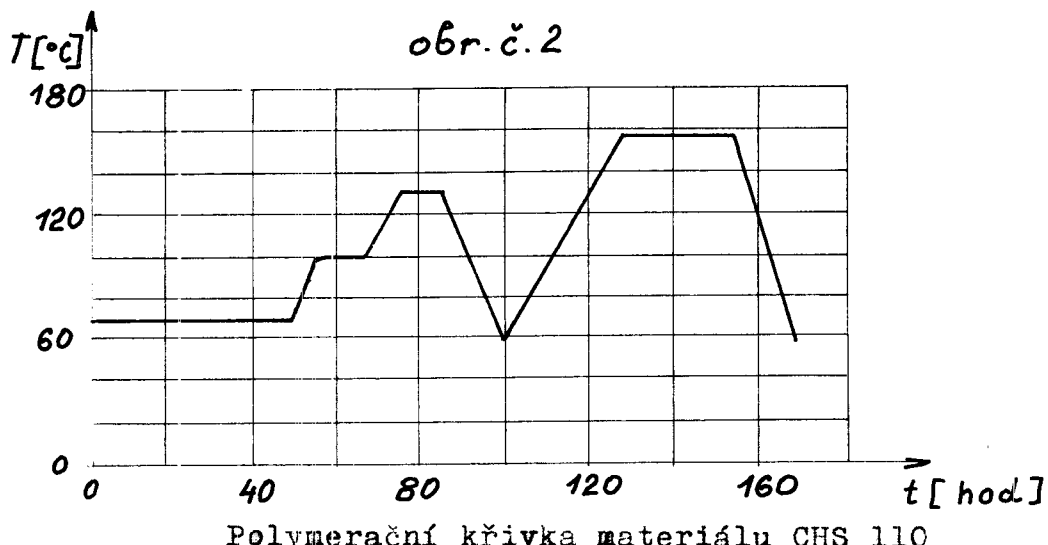
Příprava skleněné formy:

Sklo zbavíme před nanesením separační vrstvy mastnoty teplým vodním roztokem alkalického hydroxydu a opláchneme čistou vodou. Nanášení separační vrstvy se provádí namáčením skla v roztoku separátoru. Jako separátoru se používá silikonového vypalovacího laku M 115, který se ředí v poměru 1:2 acetonom. Separátor se nechá odkapat a nechá se zaschnout asi 30 min. a poté se vrstva vypaluje při 200°C 1 hodinu. Musí se dbát, aby vzestup teploty byl pozvolný, protože je nebezpečí popraskání skla.

Odlévání a polymerace se provádí takto:

Pryskařice se předeheřuje na $70\text{--}73^{\circ}\text{C}$. Zvlášť se roztaví odpovídající množství anhydridu kyseliny maleinové převrstvené určitým množstvím anhydridu kyseliny ftslové. Směs se roztaví při 140°C . Tavenina se nechá volně chladnout na 93°C . Poté se za míchání přelije do předeheřaté epoxydové pryskařice. Teplota směsi je asi 80°C . Směs se za míchání chladí na 65°C a při této teplotě se odlevá. Míchání připravené směsi provádime přiměřeným

temperem, abychom zbytečně nevytvářeli v objemu směsi shluky vzduchových bublin. S rostoucí teplotou se snížuje průhlednost modelu. Odlévá se do formy předehřáté na 60 °C rovněžným proudem po stěně formy, přičemž se musí forma naklonit tak, aby mohl dobře unikat vzduch a při lití se netvořily bubliny. Plná forma se vloží do glycerinové lázně, nebo se zalije silikonovým olejem Lukoil MF, 60 °C teplé. Tato lázeň má za úkol vyrovnat hydrostatický tlak nalité pryskyřice, stejněměrně přenášet teplo a slouží jako zásobník tepla při eventuálním vypnutí proudu. Teplota 60°C se ponechá tak dlouho, až epoxydová pryskyřice ve formě zgelovatí, což potrvá 48 - 70 hod. Na obr. č. 2 je polymeracní křivka pro materiál CHS 110. Po skončení polymerace a ochlazení se odlitek vyjmé z formy a provede se vyžíhání materiálu po dobu 20 hod. při 160 °C. Žíhání se provádí v olejové lázni Lukoilu MF, který též částečně separuje. Po uplynutí žíhací doby je nutný pomalý pekles teploty (2-5 °C/hod.) až na 50 °C. Vyžíháním se odstraní nejen prutí, které vzniklo při polymeraci, ale též se zlepší mechanicko-optické vlastnosti materiálu.



Tímto je připraven poltevar k dalšímu zpracování. Počáteční teplota má podstatný vliv na zbarvení výsledného produktu. Čím je nižší teplota lití, tím světlejší je materiál a mění se jeho mechanické vlastnosti.

Čím nižší teplota, tím vyšší pevnost, houževnatost, atence atp. Je třeba dbát toho, aby počáteční teplota polymerace a teplota lití byly co nejnižší.

2. 4 Výroba vlastního modelu.

Chceme-li sledovat vliv výle na rozložení napětí v závitovém spoji, musíme vyrobit řadu modelů napřesto shodných tvaru a vnějších rozměrů. Jednotlivé modely se budou od sebe lišit pouze velikostí předepsané výle v rámci zadaných tolerancí. Vyrobít tak přesné modely, znamená zvýšenou pracnost a větší náklady s tím spojené. Z výrobních důvodů a z důvodu přesnějšího vyhodnocení je výhodné volit základní jmenovitý rozměr závitu co největší, aby se daly nepatrné rozdíly jednotlivých výl co nejlépe postihnout.

2. 41 Výroba šroubu.

Šroub vyrábíme z válcového pleťovaru s přídavkem na obrábění 5-10 mm. Velikost přídavku závisí na přesnosti pleťovarevého odlitku. Příjemně značný přídavek je také z toho důvodu, že při povrchu odlitku se často zachycují vzduchové bubliny, které jsou při vyhodnocování patrný jako místa zvýšené koncentrace napětí a mohly by zkreslit průběh napětí v jejich okolí.

Pro soustružení se nejlépe hodí soustružnické nože s destičkami ze slinutých karbidů typ P 10, P 20 (S1, S2). Soustružení provádíme za intenzivního chlazení hydraulikem. Osvědčené řezné podmínky pro soustružení:

řezná rychlosť	$v = 50 \text{ m/min.}$
posuv	$s = 20-25 \text{ mm/min.}$
hloubka třísky	$h = 0,5 - 1 \text{ mm}$

Příjemně vysoká řezná rychlosť, malý posuv a malá hloubka třísky jsou dány křehkostí materiálu CHS 110, který při nízkých řezných rychlosťech se snadno vytrhává a tvorí velmi hrubý povrch. Tento hrubý povrch zvláště nepříznivě ovlivní pevnost materiálu při zmrazování (kolem 160°C) a průběh izochromat v blízkosti povrchu modelu. Proto jako dokončovací operaci pro obrobení povrchu šroubu volíme brusení, které nám zajistí daleko kvalitnější

povrch než soustružení. Při tomto broušení se nejlépe osvědčil brusný kotouč A 99 - 60 K, rychlosť brusného kotouče 30 m/s, rychlosť obrubku 8 m/min. Broušení provádíme na hrotové brusce. Výrobu vlastních závitů provádíme na přesné brusce, např. typu Reishauer, brusným kotoučem EK 3, # 350-160 x 10 (švýcarské výroby).

Řezné podmínky:

rychlosť obrubku kolem 1 m/min.

rychlosť závitového brusného kotouče 65 m/s

hloubka třísky h = 0,2 mm

Brousíme za stálého chlazení olejevou emulzí.

2. 42 Výroba matice.

Matici vyrábíme opět z válcevého polotovaru, s přibližně stejnými příslušenstvími pro obrábění jako u šroubu. Je výhodné volit vnější průměr matice co největší, aby se co nejvíce odstranily okrajové vlivy na průběh napětí v závitu. Vnější průměr matice volíme asi jako trojnásobek průměru šroubu. Nejdříve obrábíme matici soustružením nahrubo až do šroubu a v poslední třísce volíme h do 0,5 mm, aby bylo možné matici brousit. Soustružením dostaneme sice hrubší povrch než broušením, ale tento povrch je pro matici zcela dostačující. Otvor v matici předvrátaváme stupňovitě od průměru díry 10 mm do požadovaného průměru asi po 5 mm. Kdybychom vrtali do tělesa matice větší otvor napoprvé nebo volili příliš malý vnější průměr matice, hrozí nebezpečí, že vlivem tepla vznikajících při obrábění vznikne silné pnutí v obrubku vlivem tepla způsobeného obráběním, že dojde k roztržení tělesa matice (roztržené těleso matice viz výukovnice). Osvědčilo se vrtat díru pro závit v matici na soustruhu při 700 ot./min.. Závit řežeme maticovým závitníkem ručně, nevytáčíme jej zpět, řežeme pouze jedním směrem (bez vracení). Při řezání mažeme strojním olejem. Ozvláště je nutno bedlivě dívat na odchody třísek při řezání závitu. Dostane-li se tříška na bok nebo vrchol závitu, závitník ji lehce zatlačí mezi hřbet závitníku a již vyříznutý závit. Materiál je velmi tvrdý a křehký,

tříška se do materiálu nezatlačí a dochází v tomto místě k velkému stoupení měrného tlaku a materiál se vydrolí.

V případě, že budeme vyrábět závity o vnitřním průměru matice větším jak 30 mm, bylo by výhodné vyrábět vlastní závit broušením na již zmíněné závitové brusce, čímž by se dosáhlo daleko kvalitnějšího povrchu závitu matice a přesnějšího provedení závitového profilu matice.

Problém třískového obrábění materiálu 2521 a ostatních materiálů z epoxy CHS 110 je velmi ozechavý a málo prozkoumaný (řezné podmínky, geometrie břitu, materiál nástroje atp.). Bylo by vhodné a pro fotoelasticimetrické laboratoře velmi účinné samostatné řešení třískového obrábění tohoto materiálu. Řezné podmínky a způsoby obrábění pro naše modely závitového spojení byly získány víceméně náhodně, takže mohou existovat i jiné řezné podmínky pomocí nichž dosažené výsledky kvality povrchu budou lepší.

2. 5 Proměřování vyrobených modelů.

Při zkoumání vlivu výle je nejdůležitější před vlastním fotoelasticimetrickým pokusem mít jednotlivé modely přesně změřeny a patřičně označovány, protože jde o malé rozdíly ve velikostech průměru závitového profilu a mohlo by dojít snadno, při montáži před zmrazováním a před preparací vzorku pro vyšetřování napětí, k záměně jednotlivých kombinací šroubu a matice.

Pestup označování a proměřování šroubu a matice.

Vyrobený šroub označíme na dříku dvěma ryskami, rovnoběžnými s osou šroubu a vzájemně ležících ve dvou rovinách na sebe kolmých, jež procházejí osou šroubu. Tyto rysky popíšeme např. malými psacími písmeny. Dále šroub označujeme na jeho čele, nejlépe římským číslem, případně velkým tiskacím písmenem abecedy. Taktéž označený šroub upneme do optického měřícího přístroje a v označených řezech provedeme měření středního průměru, velkého průměru, úhlu profilu a stoupání závitu, přičemž naměřené hodnoty sestavujeme do tabulky.

Při měření postupujeme od přechodu závitu do dříku směrem k volnému konci šroubu, taktéž číslování jednotlivých závitů provádíme v tomto směru.

Matice označíme písmeny velké abecedy na vnějším průměru tělesa matice a změříme, kuličkovým mikrometrem na měření středního průměru závitu, střední průměr, dále změříme vnitřním mikrometrem malý průměr závitu matice, případně můžeme pro měřit stoupání jednotlivých závitů matice. Závity matice počítáme od označeného čela (čela, na jehož vnějším průměru je písmenný znak).

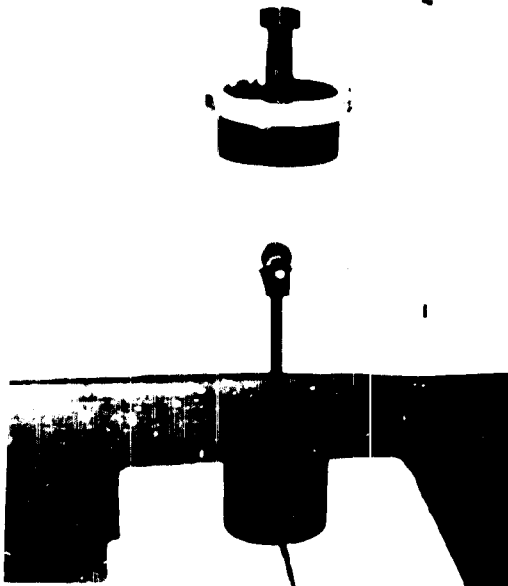
Po tomto důkladném pro měření máme přesný přehled o skutečných rozmezích vyrobených modelů. Protože výroba většinou nezajistí výrobu jednotlivých součástí v tak přesných rozmezích jaké požadujeme, je nutné vybrat teprve nyní jednotlivé dvojice šroubu a matice tak, aby velikosti jejich vzájemných závitových válí co nejlépe pokryly zkoumaný toleranční interval. Výběrem získané dvojice se srovnáváme o přesně stejný počet závitů a označíme ryskou jejich vzájemnou polohu (polohu šroubu vzhledem k matici). K označování poloh a k popisu jednotlivých součástí se hodí kevová rýsovací jehla, kterou značky vyryjeme do materiálu modelu.

2. 6 Postup při zmrazování.

Zmrazování modelů spočívá v tom, že se v modelech zachytí trvale orientační dvojlem. Abychom ho vyvolali, musíme model vyrobený z vhodné hmoty zatížit tak, aby byly zachovány zákony fyzikální podobnosti (viz úvodní teorie modelů - část 2.1, podrobněji pak v listě č.2.), a vyhřát na zmrazovací teplotu, t.zn. na běd přechodu druhého řádu nebo model vyhřát a pak zatížit. Předepsanou dobu (1 hod.) se nechá model zatížený na zmrazovací teplotě, poté zvolna ochladí na normální teplotu a odlehčí. Vyjmě se z komory a z vychladlého se vyříznou potřebné destičky, na kterých se pak bude provádět měření.

Při přípravě je třeba dbát na to, aby závěs byl dostatečně dlouhý. Dostílí se tím minimální odchylka působící síly mimo osu šroubu. U zkoušky šroubu, zvláště při sledování vlivu výle, je nutné dodržet přesně polohu (souesost) působící síly v podélné ose modelu.

Zatěžovací zařízení s jeho detaily provedení je patrné z obr.č. 3(a podrobné konstrukční provedení závěsu je v příloze č.3) , kde je vyobrazen šroub s maticí a kruhový prstenec navlečený na matici s patřičným zatěžovacím závažím. Šroub je z opačné strany uchycen kovovou matkou s chebným závěsem, který je upevněn na střepu zmrazovací komory. Vlastní zmrazovací komora je znázorněna na obr.č. 4.



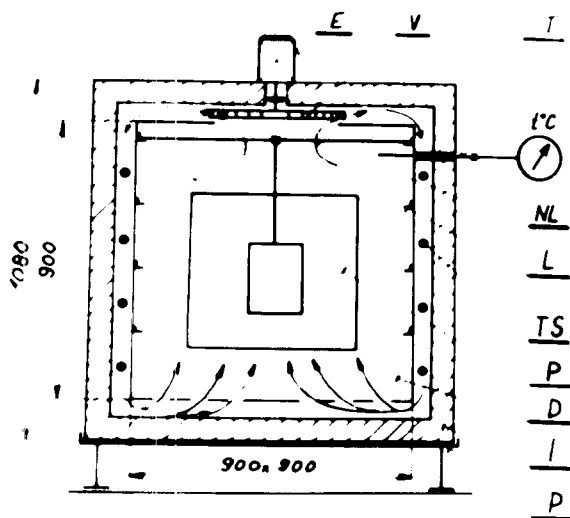
obr.č. 3



obr.č. 4

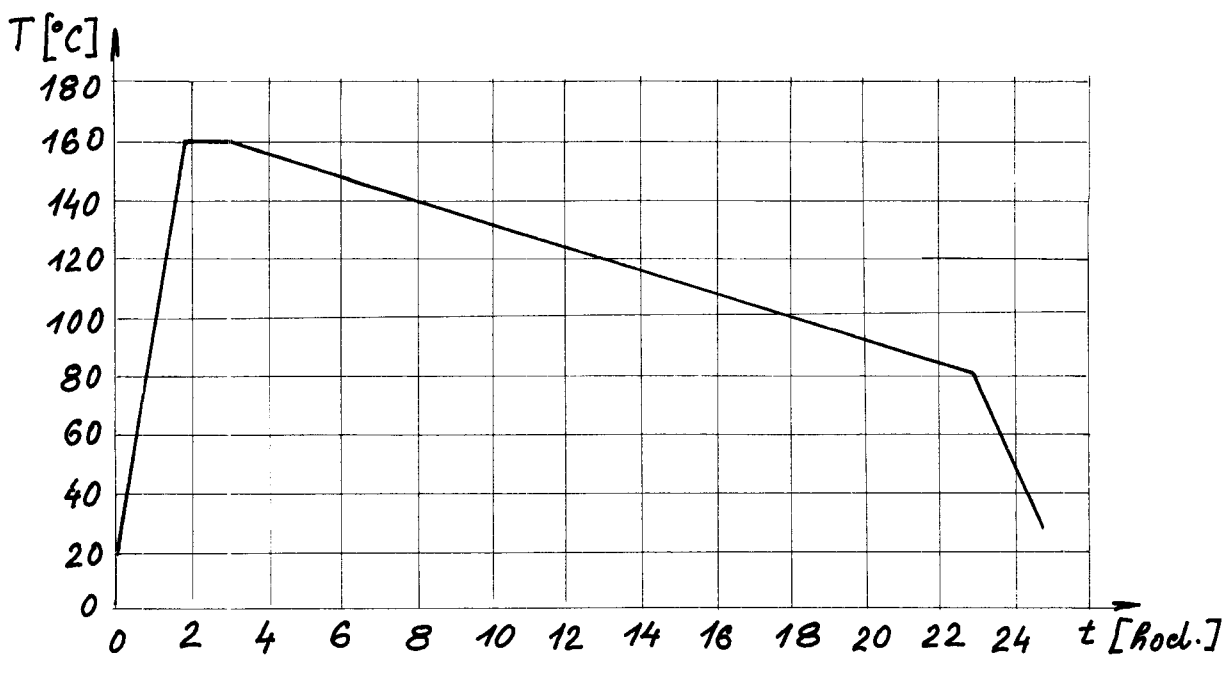
Model se zavěsí na závěs do zmrazovací komory a položí tak, aby při případném porušení závěsu nebo modelu nedošlo jeho pádem na dno komory k dalšímu porušení modelu. Komora se neprodryšně uzavře a začne se vyhřívat.

Při našich měřeních použijeme zmrazovací komory konstrukce ing. M. Perly CSc, která je ve vlastnictví HÚ ČSAV v Holešovičkách v Praze. Příkon této komory je 6 kW, napětí 3x 380 V, maxim. dosažitelná teplota 200°C. Případně je možné užít jakékoli jiné pece, kterou lze neprodryšně uzavřít a opatřit citlivým termostatem a plynule regulací vnitřní teploty pece v rozsahu do 200°C. Popis komory ing. M. Perly: schema je na obr. č. 5. Podél svislých stěn komory jsou uloženy tponé spirály (TS). Pro dosažení rovnoměrné teploty ve všech částech komory je v horní části zabudován odstředivý ventilátor (V), který zaručuje proudění vzduchu z vnitřního prostoru přes topné spirály a otvory ve dně komory zpět do vnitřního prostoru (vyznačeno na obr. č. 5 šipkami). Vnitřní rozměry jsou 900x900x900 mm, vnější 1080x1080x1000 mm. Jako tepelné izolace (I) je užito skelné vaty. V boku komory je úzký svislý zářez, sloužící pro páku při vnějším zatěžování modelu. Komora má dvoje dveře proti sebě, ve kterých jsou zasklené průhledy pro pozorování a fotografování modelu. U stropu komory je tenzometrický snímač teploty (T). Pro kontrolu se zavěšuje vedle modelu rtuťový teploměr (viz obr. č. 3).



obr. č. 5

Dvě hodiny po zapnutí komory bývá dosaženo zmrazovací teploty 160°C . Aby došlo k rovnoměrnému prochřátí modelu v každém jeho bodě, setrvává se jednu hodinu na zmrazovací teplotě. Poté se, zapnutím programového regulátoru teploty, snižuje teplota o 4°C za hodinu na 80°C , po jejím dosažení se komora vypne a model se nechá v komoře chladnout na normální teplotu. Celá operačce zmrazování trvá 24 - 30 hodin. Záleží tedy, mimo jiné, na velikosti modelu. Průběh zmrazovací teploty je na obr. č. 6.



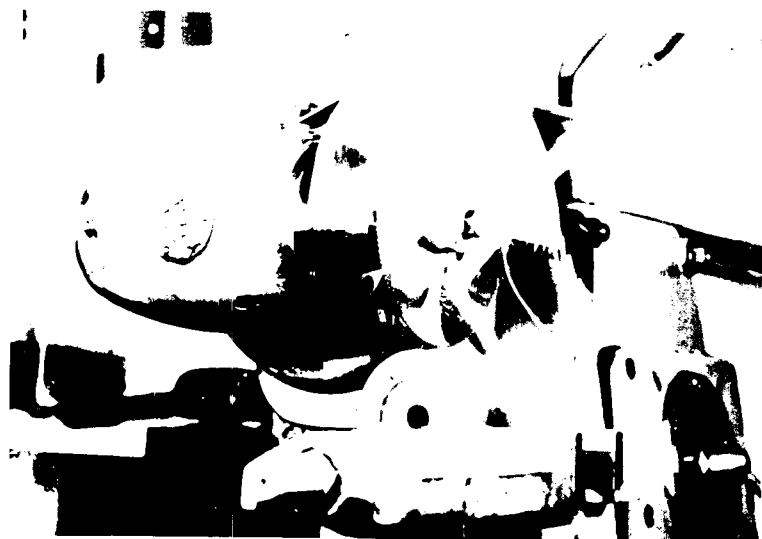
obr. č. 6

Průběh zmrazovací teploty.

Po ochlazení na normální teplotu se model sundá ze závěsu a vyjmeme z komory. Na šroubu i matici se kontroleje podle předem provedené rysky nedošlo-li během zmrazování k vzájemnému potočení šroubu a matice. V případě potočení by se musel zmrazovací proces opakovat. Po rozšroubování šroubu a matice můžeme přikročit k přípravě destiček. Chceme-li dosáhnout přesného obrazu rozložení napětí, ve styku šroubu a matice, musíme převést řez přesně na stejných místech šroubu a matice.

Pro řezání destiček platí stejné zásady jako pro soustružení. Řezání provádíme na fréze, kotoučeveu pileu

dostatečného průměru, aby pila prošla celou současně odřezávanou plechou najednou, v jednom směru. Tloušťku kotouče volíme podle možnosti co nejmenší, k dispozici bývají obvykle kotouče tloušťky 2 mm. Osvědčila se řezná rychlosť kolem 900 m/min.. Posuv volíme nejmenší možný na dané fréze. Z hlediska teoretického by bylo ideální rozřezat model na co největší možný počet destiček, abychom dostali co nejvíce naměřených hodnot, a tím i lepší přehled o průběhu napětí v jednotlivých částech šroubu nebo matice. Destička musí být ve všech místech stejně silná. Otázka preparace destičky z modelu není bez problému. Dosud není spolehlivě zajištěno dosažení stejné síly destičky ve všech místech. Žádá se co nejtenší řezný nástroj. Sníží se odpad a získá se tím hlavně více destiček, jejichž proměřením dostaneme jasnější obraz průběhu napětí v prostorovém modelu. Běžně se volí tloušťka destiček od 1 do 2 mm. Při řezání destiček z matice, rozpálíme nejdříve celou matici jedním souvislým řezem a ostatní řezy provádíme tak, aby postupující kotoučová pila rezrezávala nejdříve závitový profil a pak materiál tělesa matice. Režeme-li těleso matice od vnějšího průměru k vnitřnímu, pak zuby kotoučové pily, vycházející z řezu, strhávají sebou velké částečky materiálu závitového profilu, který je pro naše měření důležitý. Stejně jako při preparaci vzorku matice se snažíme postupovat u šroubu. Na obr.č.7 je vyobrazena upnutá matice před preparací prvého vzorku.



obr.č.7

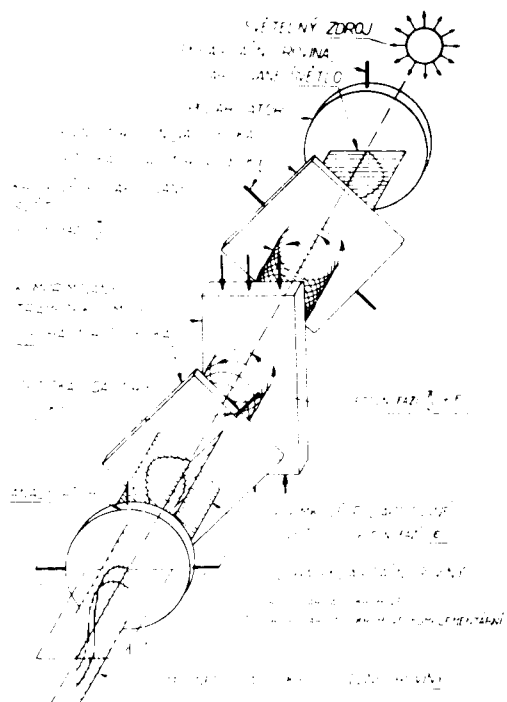
Upnutá matice
ve frézce.

2. 7 Postup při vyhodnocování.

Předběžné vyhodnocování provádíme již při preparamaci vzorku z matice jednotlivých zkoumaných dvojic. Před preparací vzorku zvolíme na matici několik řezů, z nichž vypreparované destičky ihned po vyříznutí pečlivě očíslovujeme, a to vždy na vnějším průměru matice asi uprostřed její výšky. (Z matice je možné získat nepoměrně víc kvalitních vzorků než z tělesa šroubu). Jednotlivé řezy matice okamžitě vyhodnotíme, nejlépe kompenzační metodou, kterou zjistíme v každém řezu maxim. hodnoty koncentrace napětí v nejexponovanějších místech každého řezu. Tyto předběžné hodnoty relativního dvojlonu podělíme příslušnými tlušťkami destiček, čímž získáme srovnatelné hodnoty pro všechny řezy matice. Nyní sestrojíme graf, na jehož jednu osu vynášíme vzájemnou polohu jednotlivých řezů v obléukové míře a na druhou osu pravoúhlého systému vynášíme již zmíněné porovnávací hodnoty. Po sestrojení této grafické závislosti lehce zjistíme maximum a minimum zobrazené funkce. Poloha extrému této funkce nám ukazuje poměrně přesně řez, v kterém je největší koncentrace napětí. Tomuto řezu matice bude odpovídat nejexponovanější řez šroubu, proto stačí ze šroubu vyříznout menší počet řezů, přičemž začneme vyříznutím destičky nejexponovanějšího řezu, která je pro nás účel nejdáležitější. Jestliže jsme vyrábili všechny modely ze stejného materiálu a dodrželi při montáži stejně vzájemné polohy u všech zkoumaných dvojic, můžeme na zbývajících dvojicích šroubů a matic přímo označit nejdáležitější dva řezy. Zkrátíme si tak práci s vyhledáváním nejnamáhanejšího řezu.

2. 71 Postup při vyhodnocování jednotlivých vzorků.

K tomuto účelu užijeme přístroje pracujícího na principu kruhové polarizace (schema principu kruhové polarizace viz obr. č. 8.), který je vybaven: monochromatickým světlem (rtuťová výbojka), monochromatický zelený filtr, polarizátorem s dvěma čtvrtvlnnými deskami, analyzátem a optickou zvětšovací soustavou.



obr.č. 8

Schema kruhové a kruho-
vě komplementární pola-
rizace.

Za analyzátorem přístroje je umístěna skleněná deska, na kterou položíme pauzovací papír, vložíme mezi analyzátor a polarizátor zkoumený vzorek, a pečlivě obkreslíme jeho obrysy na pauzovací papír. Nyní nastavíme analyzátor a polarizátor do zkřížené polohy, před polarizátor vložíme zelený filtr a do nakresleného obrysu na pauzovacím papíře zakreslíme průběh izochromat, které se nám jeví jako černé čáry. Tím máme zachyceny izochromaty celých řádů po celé ploše vzorku. Zakreslíme-li tytéž čáry při polarizaci kruhově komplementární, t.j. polarizační roviny polarizátora a analyzátora, jsou rovnoběžné, dostaneme izochromaty půlžádové. Půlžádové izochromaty zakreslujeme slabou nebo čárkovánou čarou. Dále označujeme řady jednotlivých izochromat a to tak, že postupujeme od vnitřní části směrem k obrysům a každý přechod přes izochromatu celého řádu očíslovujeme 1, 2, 3 atd. Protože nás zajímají při zkoumání vlivu výle na napjatost v závitovém spoji hlavně místa s největší koncentrací napětí, která jsou rozhodující pro pevnost závitového spoje, můžeme nyní zjistit kompenzací přímo napětí ve vrubech závitového

profilu. Do připraveného nákresu, z kterého je již patrno, kde jsou napěťové špičky, doměříme maximální hodnoty relativního dvojlotu v jednotlivých nejexponovanějších bodech takto: pauzovací papír nahradíme matnicí, analyzátor pootočíme do výchozí polohy a na matnici vidíme obraz průběhu izochromat celých řádů. Nyní otáčíme analyzátem a zjištujeme přesné místo, ve kterém izochromata nejvyššího řádu přejde okrajem obrysu. V tomto místě sestrojíme pomyslnou tečnu k obrysu řezu a vzorkem pootočíme tak, aby tato tečna byla rovnoběžná s polarizační rovinou polarizátoru. Nastavíme analyzátor opět do výchozí polohy a pootáčíme jím z této polohy tak dlouho, až izochromata nejvyššího řádu přejde přes okraj vzorku. Pak na stupnici analyzátoru odečteme setiny relativního dvojlotu. Takto postupujeme od jednoho závitu k druhému a naměřené hodnoty připisujeme k čarám, které se dotýkají obrysu nákresu v místech kde zanikly izochromaty, t.j. v místech napěťových špiček.

Stanovení izochromat a jejich vyhodnocení je nejdůležitější částí fotoelasticimetrického výzkumu. Pro stanovení rozdílu napětí v modelu použijeme rovnice

$$(\nu_1 - \nu_2) = \frac{2\pi m}{\rho c'}$$

p, které je úměrné frekvenci, můžeme nahradit výrazem

$$\rho = \frac{2\pi r}{\lambda} \quad v = \text{rychlosť světla}$$

konstanta ρ je závislá na fyzikálních vlastnostech modelové hmoty. Vyjádřením $\rho = \rho'$, t a dosazením do uvedené rovnice za ρ a ρ' jejich příslušné hodnoty obdržíme

$$(\nu_1 - \nu_2) = m \cdot \frac{1}{t} \cdot \frac{\lambda}{v \cdot c''}$$

označíme-li $\frac{\lambda}{v \cdot c''} = K$, bude rozdíl hlavních napětí dán výrazem

$$(\nu_1 - \nu_2) = m \cdot \frac{K}{t} \quad (m = 0, \pm 1, \pm 2)$$

kde m = řad izochromaty. Z Moorovy kružnice pro napětí vyplývá, že rozdíl hlavních napětí ($\nu_1 - \nu_2$) se rovná

$$2T_{max} = (\nu_1 - \nu_2) = m \cdot \frac{K}{t}$$

Rády jednotlivých izochromat zjistíme tak, že je spočítáme, přičemž vycházíme od singulárního bodu nebo linie jako izochromaty nulového řádu. Polohu singulárních bodů, t.j. bodů v nichž jsou obě hlavní napětí stejně velká a jejich rozdíl je roven 0

$$(v_1 - v_2) = 0 \cdot \frac{1}{2} \cdot K = 0;$$

zjistíme nejlépe v bílém kruhově polarizovaném světle. Zde obraz izochromat není rušen izoklinami; singulární body nebo linie jakožto izochromaty nultého řádu se jeví jako tmavé body nebo čáry, zatímco všechny ostatní izochromaty jsou duhoučky zbarvené. U modelů souměrných a souměrně zatížených jsou singulární body buď na osi symetrie nebo jsou k ní souměrně položeny.

Největší namáhání modelu bývá zpravidla v malé vzdálenosti od kraje; t.zn., že o pevnosti modelu a tím i konstrukci rozhoduje ve většině případů namáhání krajních vláken. Stačí tedy mnohdy, pro předběžnou orientaci o rozdělení napjatosti a o místech nejvíce namáhaných, pohled na obraz izochromat, abychom si učinili představu o vhodnosti navržené konstrukce. Protože při našich pokusech vycházejí napěťové špičky v kořenech vrub, které nejsou zatíženy vnějšími silami, můžeme po zjištění optické citlivosti modelového materiálu, vypočítat ze zjištěných hodnot relativního dvojlamu, přímo hodnoty obvodového napětí. Jak z výše uvedené teoretické úvahy vyplývá, dostaneme velikost obvodového napětí podělením hodnot relativního dvojlamu, příslušnou tloušťkou vzorku v cm a vynásobením optickou citlivostí K. Zjištění optické citlivosti modelového materiálu je podrobně popsáno v literatuře č. 2,4.

Na závěr celého výhodnocování sestavíme tabulky, od kterých zaznamenáváme k jednotlivým závitům v daných řezech velikosti relativního dvojlamu příslušné tloušťky destiček a hodnoty vypočítaného obvodového napětí. Tabulkové údaje vypracujeme ještě graficky a připojíme k hodnotícím údajům každého vzorku ještě příslušnou fotografií daného řezu, buď v barevném provedení nebo v černobílém provedení, a to při zkřížených polarizačních rovinách (v prvním případě budou černé čáry na fo-

tografii vyjadřovat průběh izochromat celých řádů a na druhé fotce půlřádů).

2. 72 Fotografování.

Ke zhotcovování fotografií používáme černobílý materiál citlivosti 10^0 DIN. Popis problematiky zhotovování snímků při fotoelasticimetrických měřeních je podrobně popsán v literatuře č.2. Uvedeme zde pouze praktický vyzkoušený příklad. Užijeme fotoaparátu Exakta s kinofilmem šířky 36 mm + teleobjektiv. Fotoaparát připevníme na přestavovatelný stojan a jako zdroje světla použijeme sodíkovou výbojku. Na čelo výbojky nasadíme polarizační filtr, na který přímo pomocí jemného silikonového oleje přilepíme destičku. Od této destičky ve vzdálenosti 13 cm umístíme analyzátor a o dalších 50 cm dále umístíme čočku teleobjektivu, takže film je vzdálen od analyzátoru asi o 70 cm. Expoziční doba 6 vt., clona 8.

3. 0 Vyhodnocení výsledků získaných experimentálními zkouškami a závěry týkající se závitových tolerancí.

Pro experiment jsem vybral závit M 24 (jeho velikost je volena s ohledem na výsledky DP - ing. Radostného) a tolerance matice H 6 a šroubu g 6, které odpovídají středním hodnotám z přehledu uvedeného v odstavci 2.1. Též z hlediska praxe se jeví tyto tolerance jako jedny z nejužívanějších.

Pro experiment byla vyrobena dvě šroubová spojení s různými tolerancemi závitů v mezích H 6 / g 6.

3. 1 Přehled naměřených rozdílů mezi variantou a jejich odchylek od jmenovitých rozdílů:

Varianta A - šroubové spojení s velkou válcí

Šroub - označení vzorku A

$$\varnothing d = 24 - 0,420 = 23,58 \text{ mm } \Delta d = 420 \mu\text{m}$$

$$\varnothing d_2 = 22,051 - 0,199 = 21,852 \text{ mm } \Delta d_2 = 199 \mu\text{m}$$

$$t = 3 - 0,001 \text{ mm } \Delta t = 1 \mu\text{m}$$

Matice - označení vzorku A

$$\varnothing D_1 = 20,752 + 0,001 = 20,753 \text{ mm } \Delta D_1 = 1 \mu\text{m}$$

$$\varnothing D_2 = 22,051 + 0,23 = 22,281 \text{ mm } \Delta D_2 = 230 \mu\text{m}$$

Varianta B - šroubové spojení s menší válcí

Šroub - označení řezu B

$$\varnothing d = 24 - 0,390 = 23,610 \text{ mm } \Delta d = 390 \mu\text{m}$$

$$\varnothing d_2 = 22,051 - 0,099 = 21,952 \text{ mm } \Delta d_2 = 99 \mu\text{m}$$

$$t = 3 + 0,003 \text{ mm } \Delta t = 3 \mu\text{m}$$

Matice - označení řezu B

$$\varnothing D_1 = 20,753 + 0,060 = 20,813 \text{ mm } \Delta D_1 = 60 \mu\text{m}$$

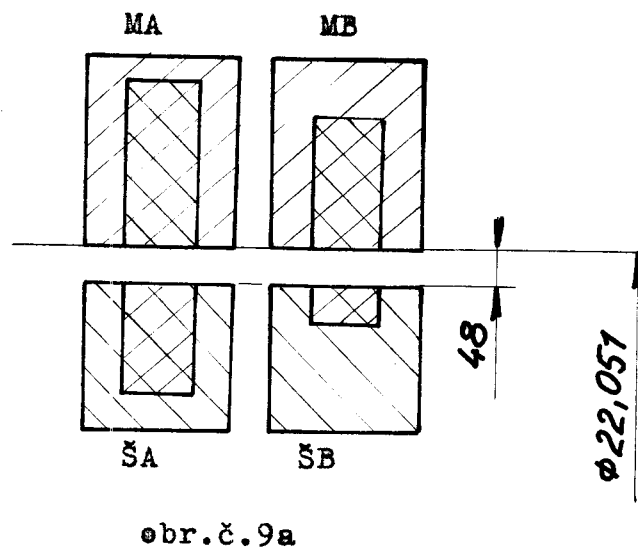
$$\varnothing D_2 = 22,051 + 0,185 = 22,236 \text{ mm } \Delta D_2 = 0,185 \text{ mm}$$

Pro názornější představu jsou na obr.č.9 porovnány jednotlivé rozměrové odchylky s velikostí tolerančních polí H 6 a g 6.

Na obr.č.10 je zachycen jmenovitý profil závitu M 24, oblasti tolerančních polí. Na obr.č.11 jsou zakresleny polohy řezů a jejich číslování, pro obě varianty zkoumaných spojů.

Odchylky středních průměrů závitů.

Vysvětlivky:



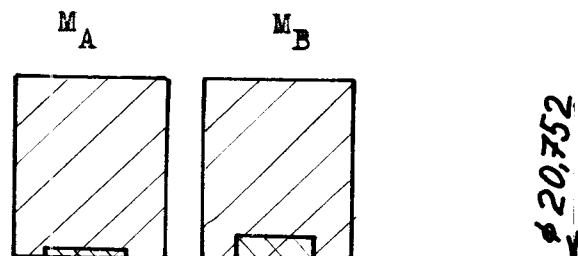
obr.č.9a

- toleranční pole H6
- toleranční pole g6
- skutečně vyrobené odchylky

- M_A - odchylky matice A
- M_B - odchylky matice B
- S_A - odchylky šroubu A
- S_B - odchylky šroubu B

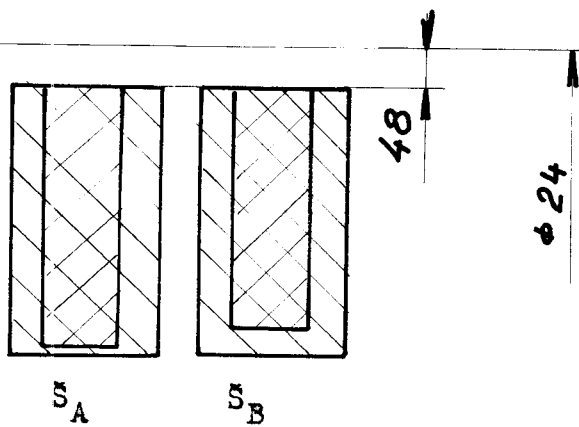
Odchylky malých průměrů matic.

obr.č.9b



Odchylky velkých průměrů šroubů.

obr.č.9c

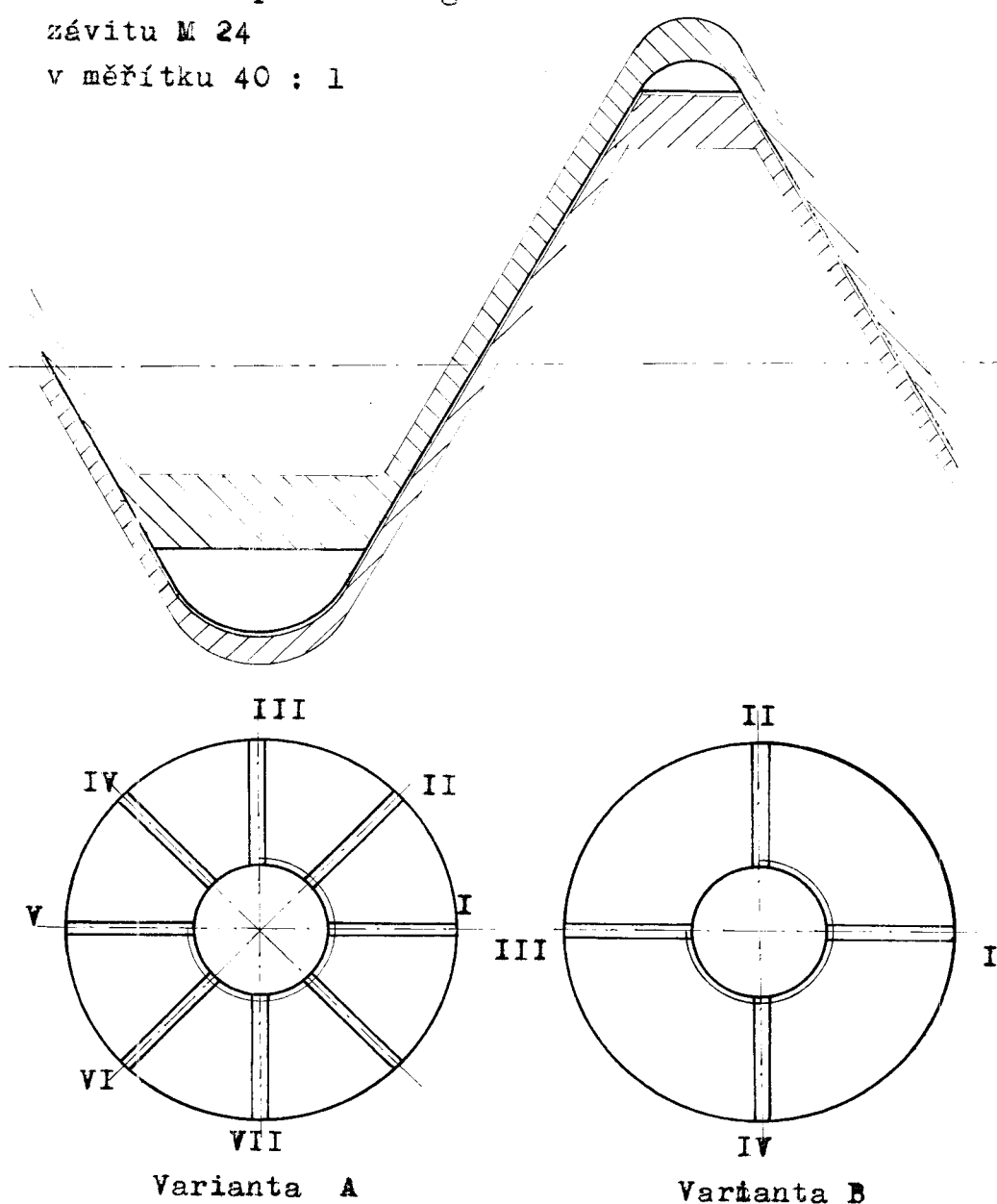


Obr.č.10

Toleranční pole H6 - g6

závitu M 24

v měřítku 40 : 1



Obr.č. 11

Označení řezů šroubů a matic.

VŠB - Liberec	Příběh napětí v závitovém stavu - metoda fotoelasticimetrickou	Katedra FCE
Fakulta strojní		DP - ST - 681 / 60

3. 2 Přehled naměřených výsledků fotoelasticimetrického měření.

Na následujících stránkách je uveden pro obě varianty ucelený přehled naměřených hodnot maximálního dvojlotu, vypočtena příslušná napětí a zaznamenány údaje o tloušťkách do tabulek pro jednotlivé řezy.

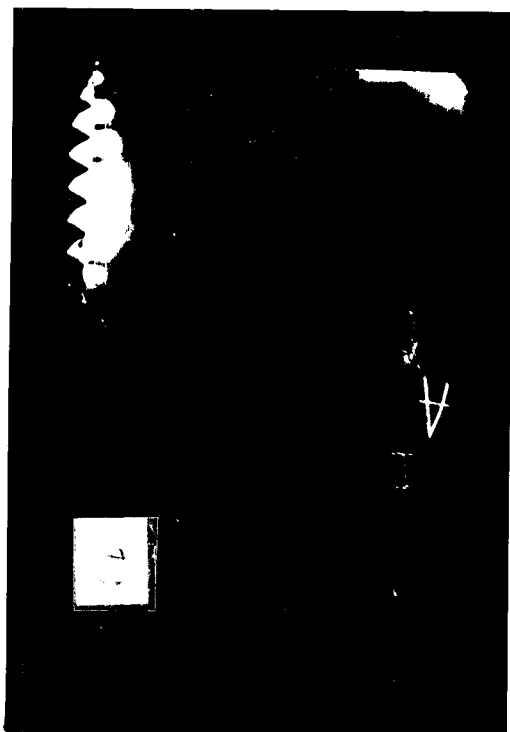
Obr. č. 31 je ukázkou přímého záznamu měření.

Každá stránka následujícího přehledu obsahuje, mimo již zmíněného tabelárního vyhodnocení, graf průběhu napětí a dvojici fotografií, z nichž levá fotografie ukazuje průběh izochremat v kruhově polarizovaném světle a pravá při polarizaci doplňkové.

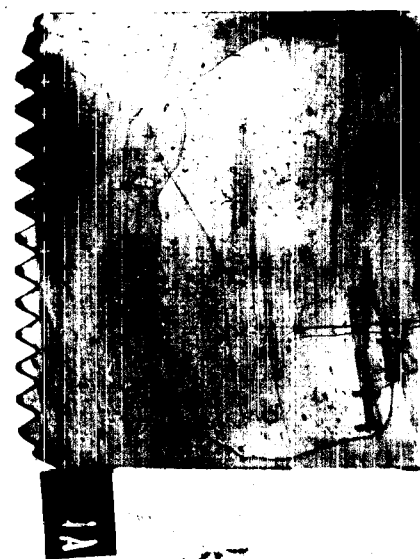
Při vyhodnocování je užitečné orientace číslování závitů: čísla matice začínají od prvního zatištěného závitu; a závity šroubu mají počátek číslování v přechodu závitového profilu do dříku šrcubu.



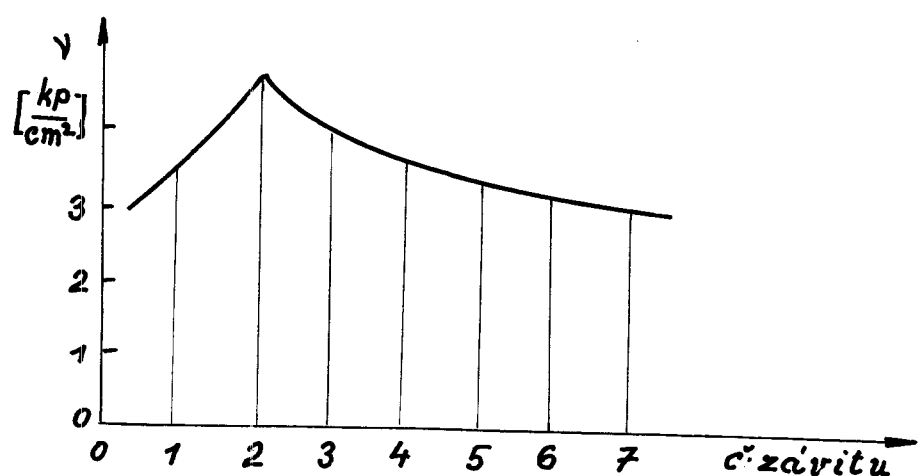
Obr.č. 11a
Rozebrané závitové spojení
před preparací vzorku.



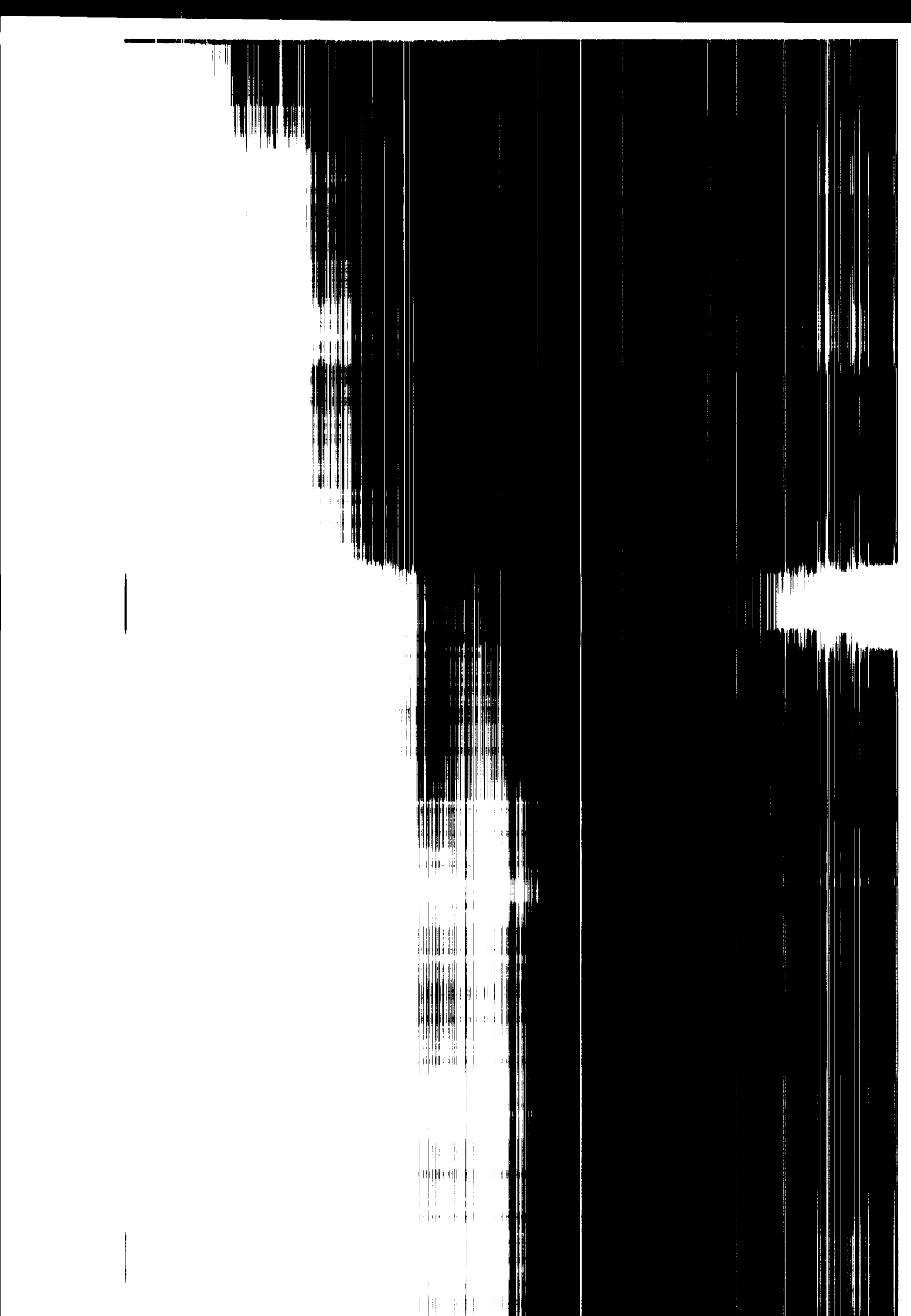
Obr.č.12a

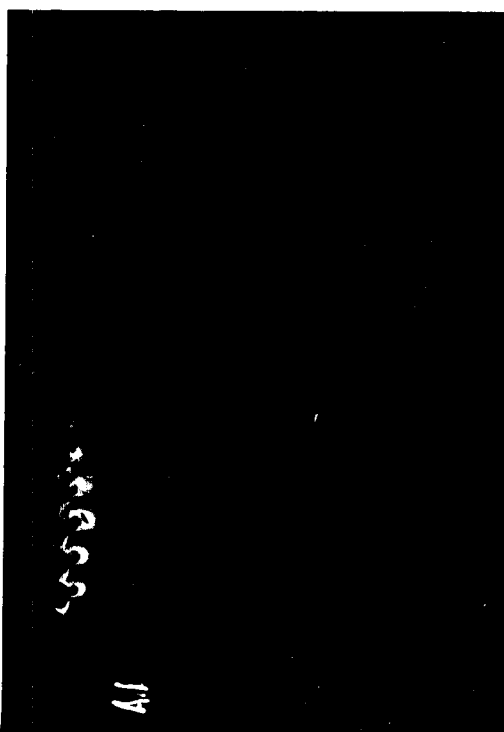


Obr.č.12b



$\frac{K}{t} = 3,2$										
VZOREK A I ; $\gamma = m \cdot \frac{K}{t}$ $\frac{kp}{cm^2}$; $K=0,4$; $t=0,125$										
závit matice	1	2	3	4	5	6	7	8	9	10
řád m	1,1	1,5	1,1	1,1	1,1	1	0,9	-	-	-
γ	3,52	4,8	3,52	3,52	3,52	3,2	3	-	-	-

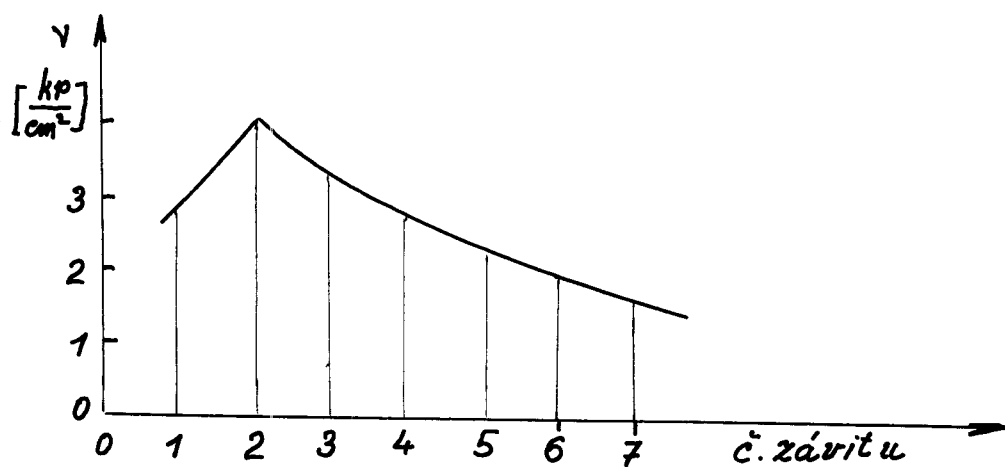




Obr.č.13a

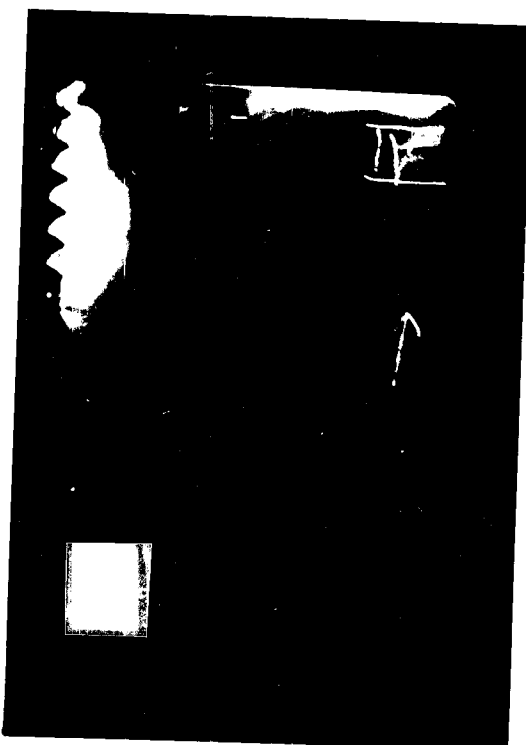


Obr.č.13b

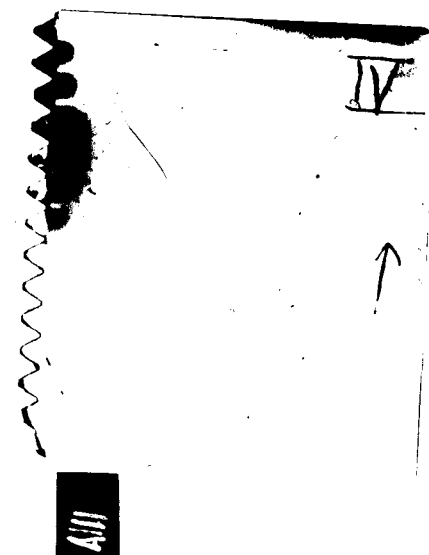


VZOREK A II; $\gamma = \frac{K}{t} \frac{\text{kp}}{\text{cm}^2}$; $\frac{K}{t} = 2,28$
 $K = 0,4$; $t = 0,175$

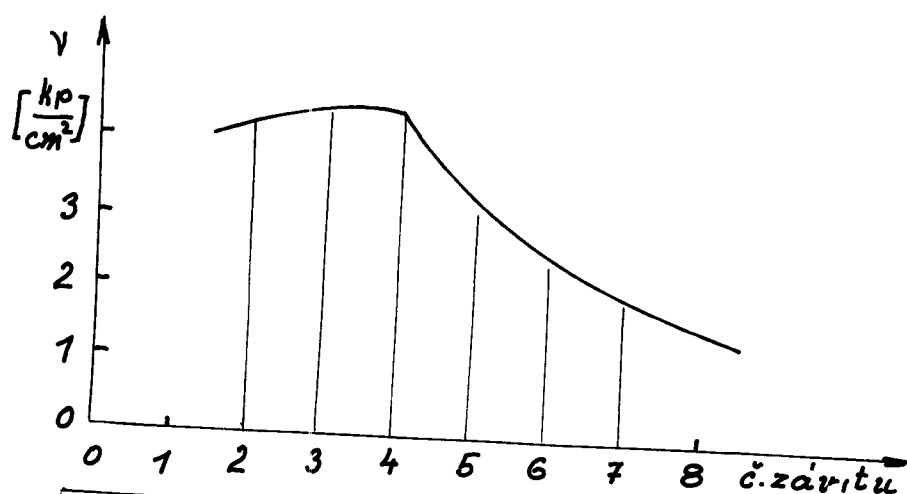
závit matice	1	2	3	4	5	6	7	8	9	10
řád m	1,25	1,76	1,42	1,25	1,05	0,9	-	-	-	-
γ	2,85	4,01	3,24	2,85	2,32	2	-	-	-	-



Obr.č.14a



Obr.č.14b

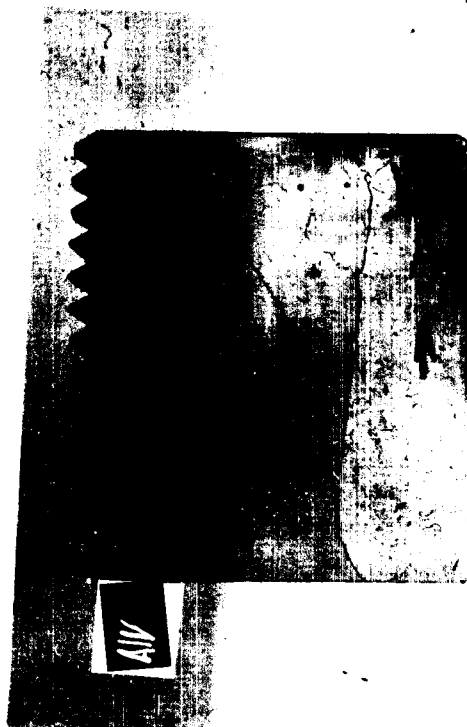


VZOREK A III; $\gamma = m \cdot \frac{K}{t} \frac{kp}{cm^2}$; $\frac{K}{t} = 2,96$
 $K = 0,4$; $t = 0,135 \text{ cm}$

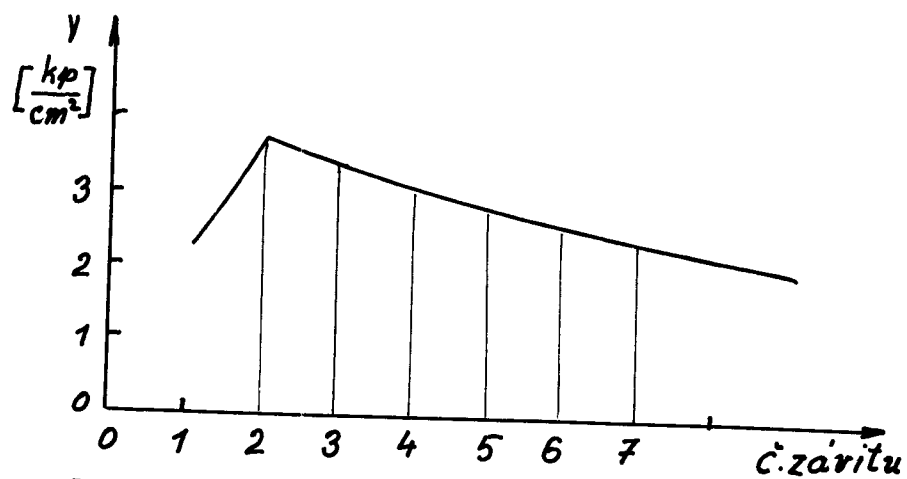
závit matice	1	2	3	4	5	6	7	8	9	10
řád m	-	1,42	1,48	1,48	1,1	0,80,7	-	-	-	-
γ	-	4,2	4,38	4,38	3,26	2,37	2	-	-	-



Obr.č.15a

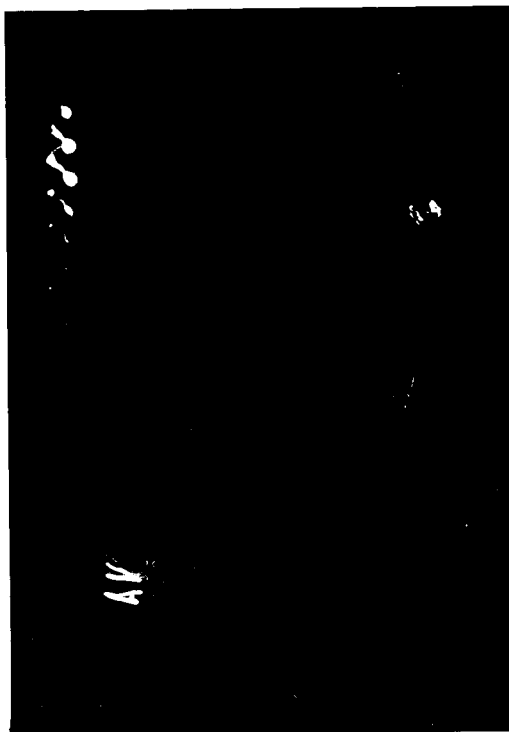


Obr.č.15b



VZOREK A IV; $\psi = m \cdot \frac{K}{t} \frac{kp}{cm^2}$; $\frac{K}{t} = 2,9$
 $K=0,4$; $t=0,13\text{ cm}$

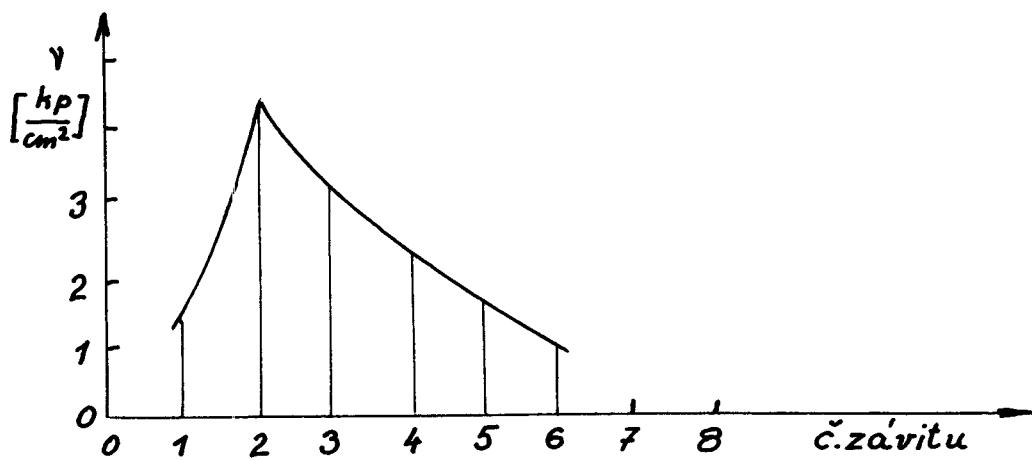
závit matice	1	2	3	4	5	6	7	8	9	10
řád m	-	1,28	1,22	1,1	1	0,9085	0,5	-	-	-
γ	-	3,71	3,54	3,1	2,9	2,6	2,5	1,5	-	-



Obr.č.16a



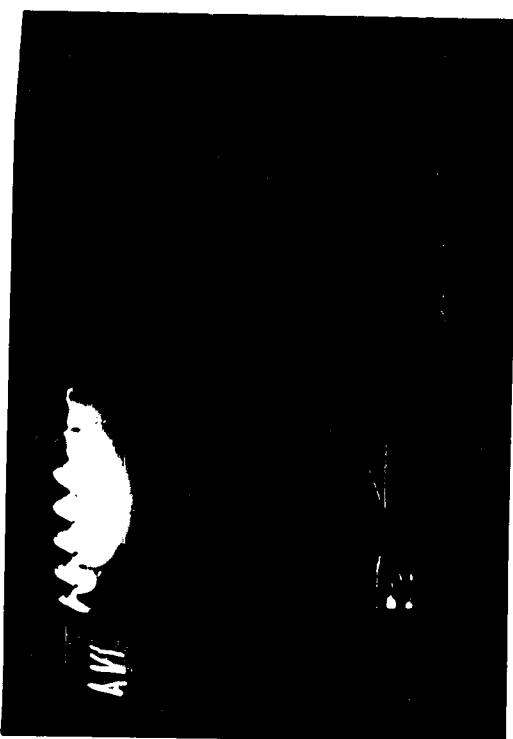
Obr.č.16b



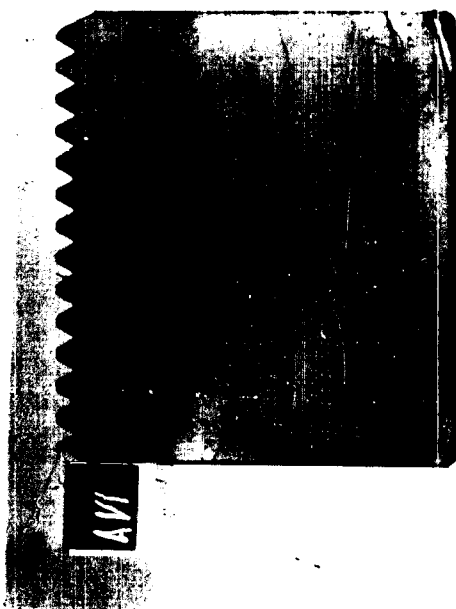
$$\text{VZOREK A V; } \gamma = m \cdot \frac{K}{t} \frac{kp}{cm^2}; \quad \frac{K}{t} = 4,35$$

$$K=0,4; t=0,092 \text{ cm}$$

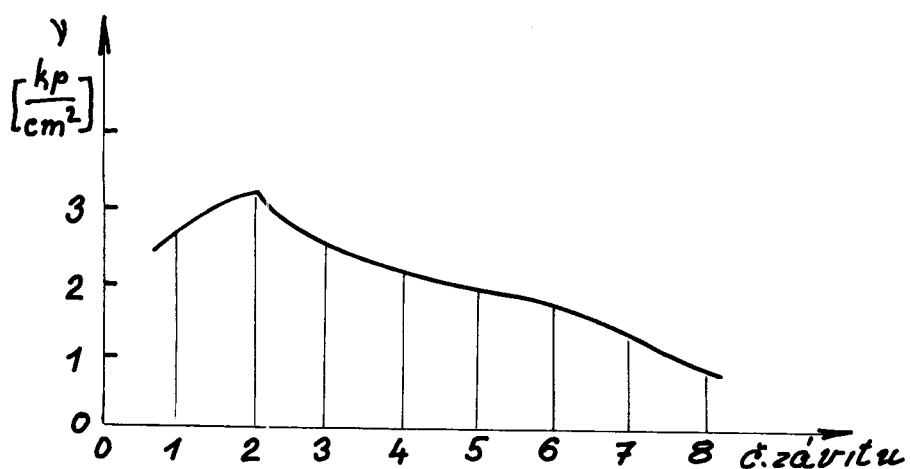
závit matice	1	2	3	4	5	6	7	8	9	10
řád m	0,3	1,075	0,55	0,3	0,2	-	-	-	-	-
γ	1,3435	3,1239	1,3087	-	-	-	-	-	-	-



Obr.č.17a

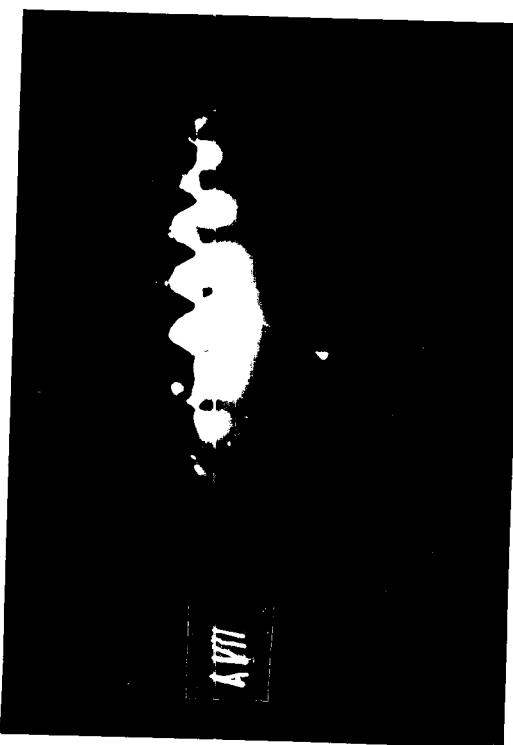


Obr.č.17b

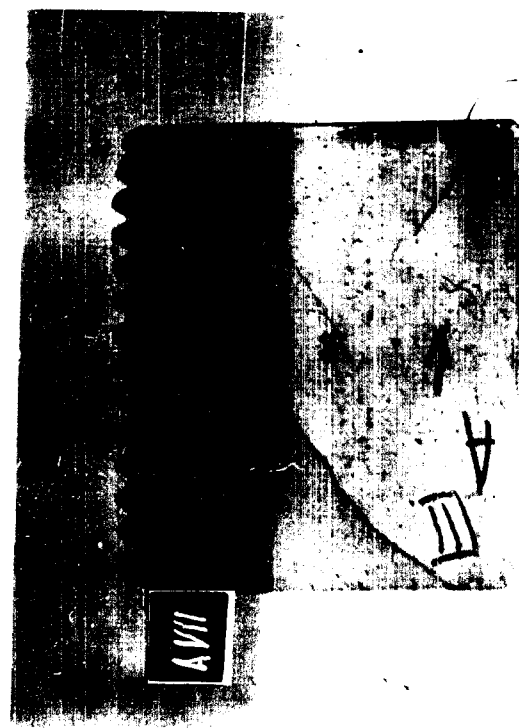


VZOREK A VI; $\nu = m \cdot \frac{K}{t} \frac{kp_2}{cm}$; $\frac{K}{t} = 2,02$
 $K=0,4$; $t=0,198cm$

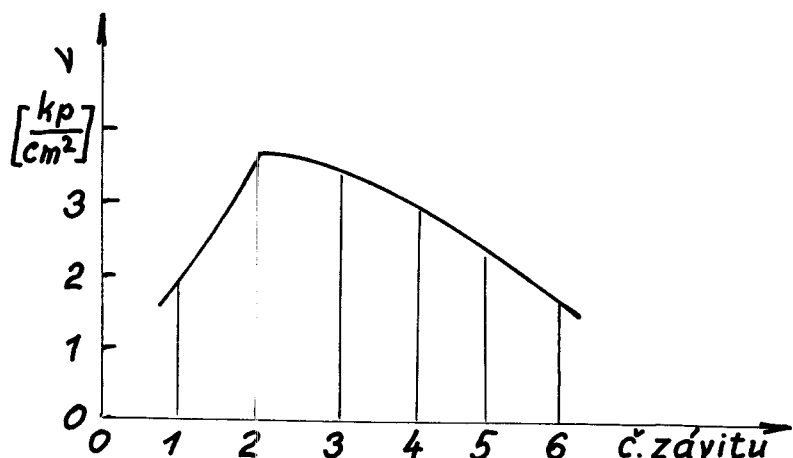
závit matice	1	2	3	4	5	6	7	8	9	10
řád m	1,38	1,54	1,25	1,05	1	0,9	0,6	0,1	-	-
γ	2,79	3,11	2,52	2,12	2,02	1,81	1,21	0,2	-	-



Obr.č.18a



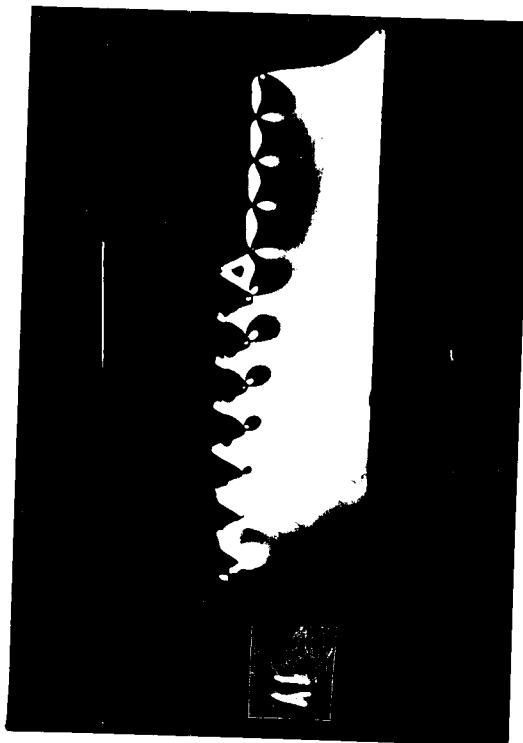
Obr.č.18b



$$\text{VZOREK A VII; } V = m \cdot \frac{K}{t} \frac{\text{kp}}{\text{cm}^2}; \quad \frac{K}{t} = 3$$

$$K = 0,4; \quad t = 0,1333 \text{ cm}$$

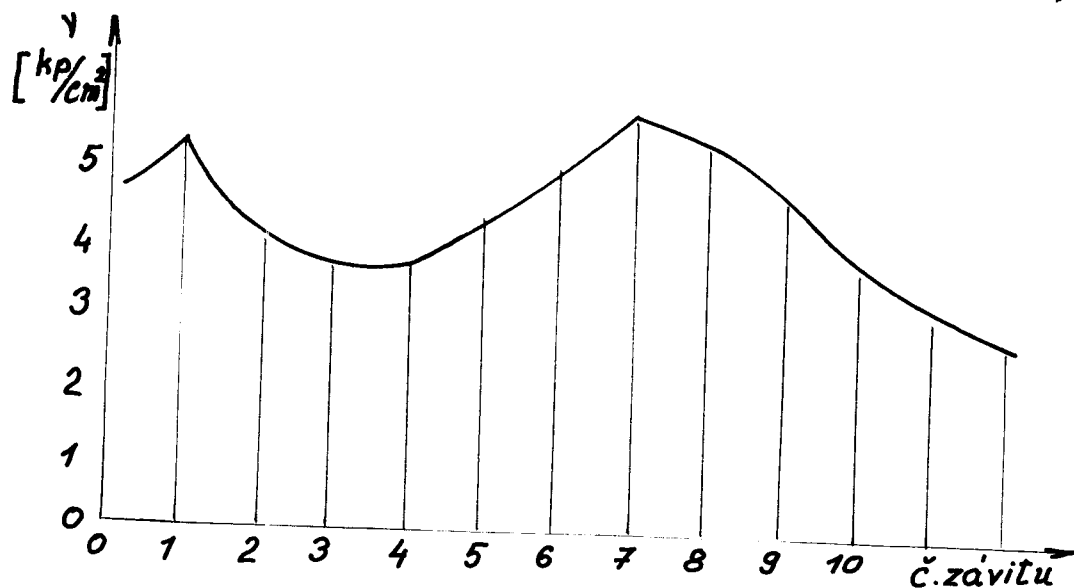
závit matice	1	2	3	4	5	6	7	8	9	10
řád m	0,6	1,24	1,2	1	0,8	0,2	-	-	-	-
V	1,8	3,72	3,6	3	2,4	0,6	-	-	-	-



Obr.č.19a

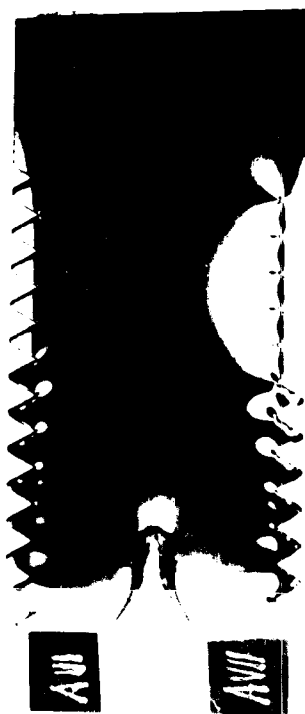
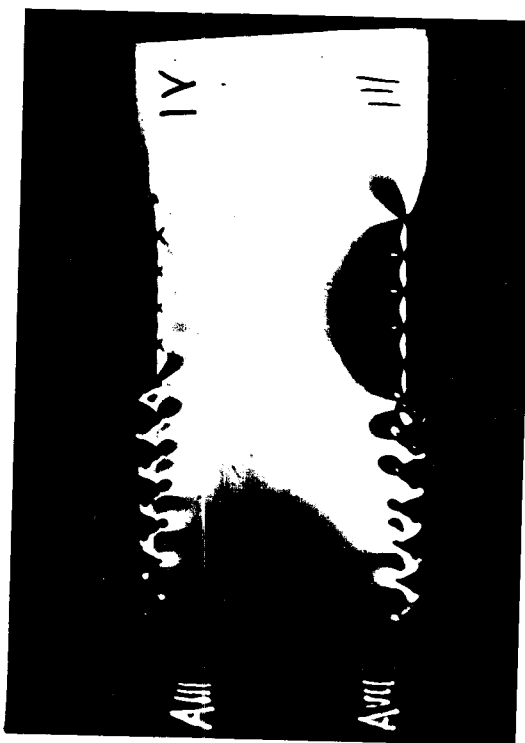


Obr.č.19b



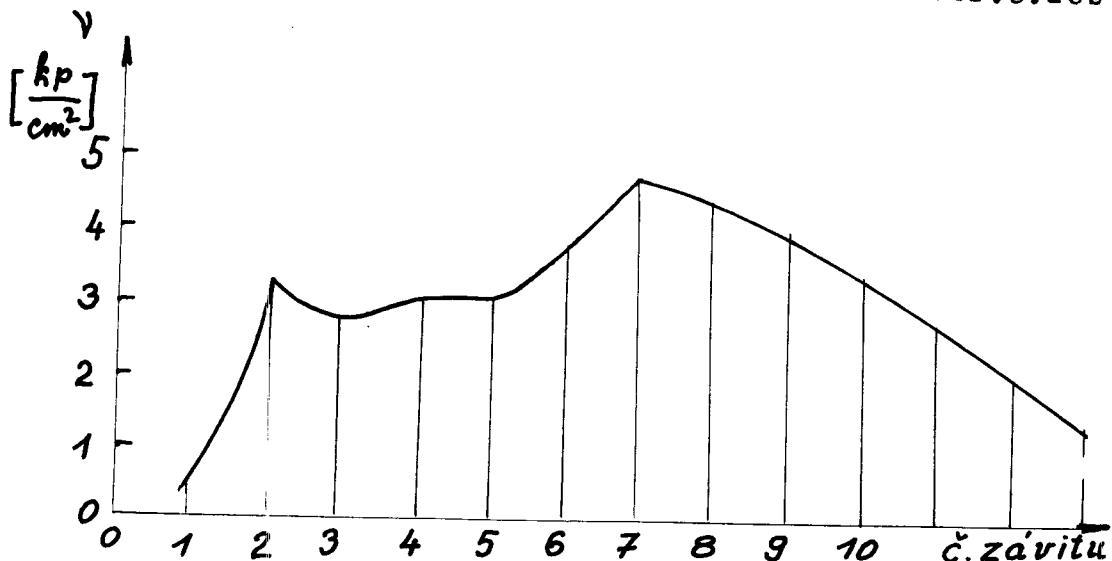
VZOREK A I ; $\gamma = m \cdot \frac{K}{t}$ $\frac{kp}{cm^2}$; $\frac{K}{t} = 2,4$
 $K = 0,4$; $t = 0,167$ cm

závit šroubu	1	2	3	4	5	6	7	8	9	10	11	12	13
řád m	2,2	1,6	1,52	1,52	1,8	2,25	2,38	2,25	2,11	1,28	1,2	1,2	-
γ	5,28	3,84	3,65	3,65	4,32	5,4	5,7	5,4	5,07	3,07	2,88	2,88	-



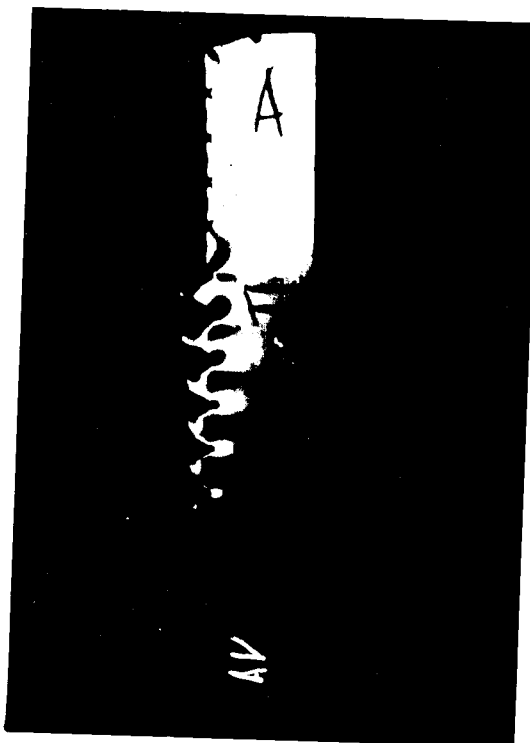
Obr.č.20a

Obr.č.20b



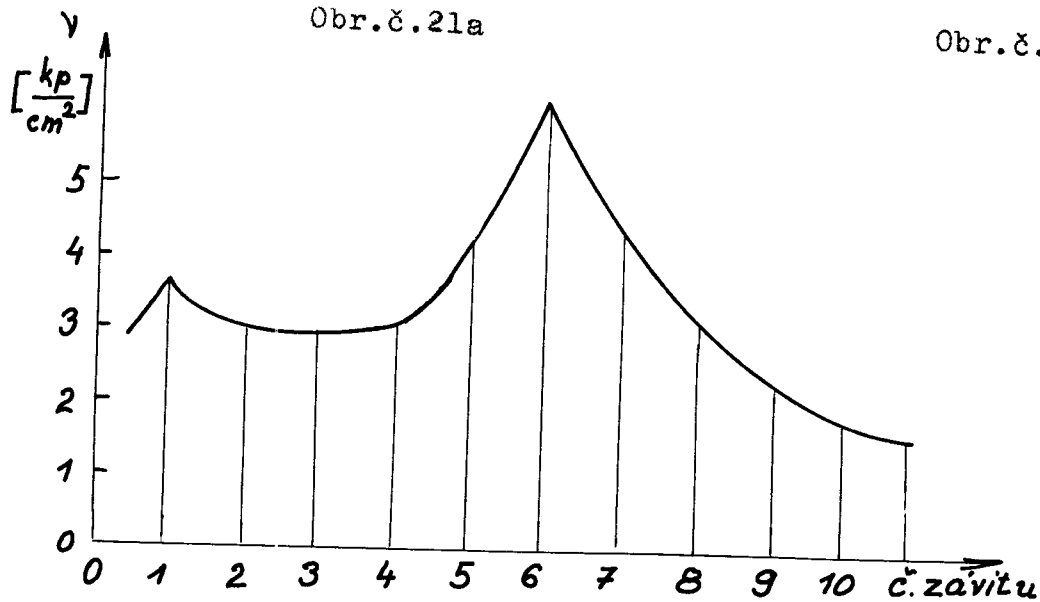
VZOREK A III; $\gamma = m \cdot \frac{K}{t} \frac{kp}{cm^2}$; $\frac{K}{t} = 2,2$
 $K=0,4$; $t=0,182$ cm

závit šroubu	1	2	3	4	5	6	7	8	9	10	11	12	13
řád m	0,22	1,47	1,23	1,35	1,34	1,75	2,15	1,97	1,18	1,47	1,25	0,9	0,6
γ	0,44	3,23	2,7	2,97	2,95	3,85	4,73	4,33	3,96	3,23	2,75	1,98	1,32



Obr. č. 21a

Obr. č. 21b

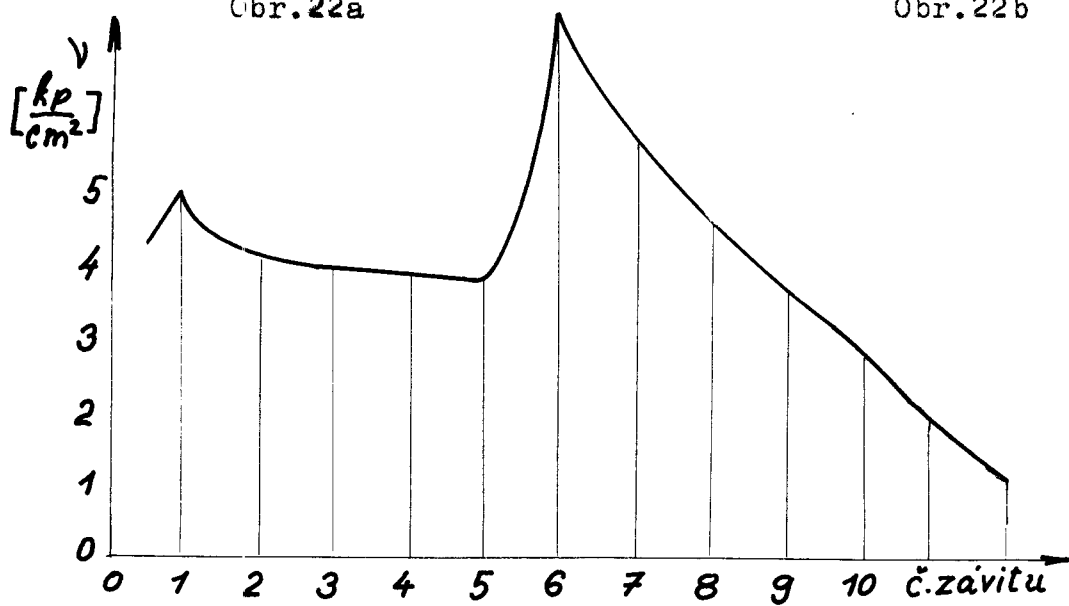


VZOREK A V; $\nu = m \cdot \frac{K}{t} \frac{kp}{cm^2}$; $\frac{K}{t} = 2,25$
 $K=0,4$; $t=0,178$ cm

závit šroubu	1	2	3	4	5	6	7	8	9	10	11	12	13
řád m	15	135	136	138	2	274	2	125	11	0,8	0,81	-	-
ν	3,37	3,03	3,06	3,1	4,5	6,16	4,5	2,81	2,47	1,8	1,82	-	-

Obrázek č. 22a a 22b je vyjádřen pravou stranou
obrázku č. 20a a 20b.

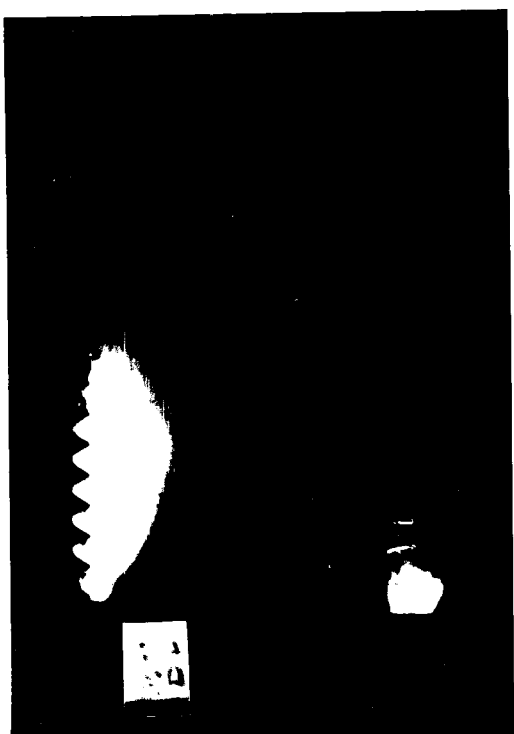
Obr. 22a



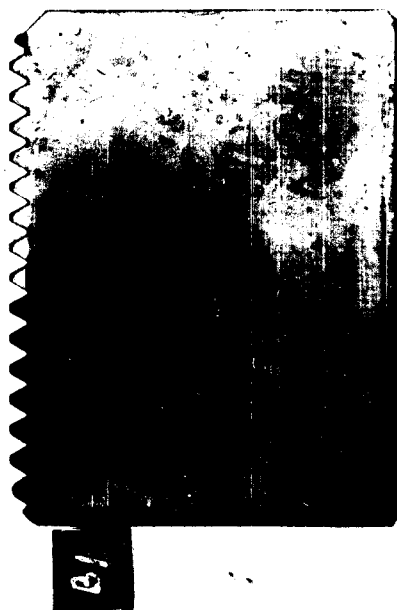
Obr. 22b

$$\text{VZOREK A VII; } \Psi = m \cdot \frac{K}{t} \frac{\text{kp}}{\text{cm}^2} ; \quad \frac{K}{t} = 2,19 \\ K=0,4; t=0,183 \text{ cm}$$

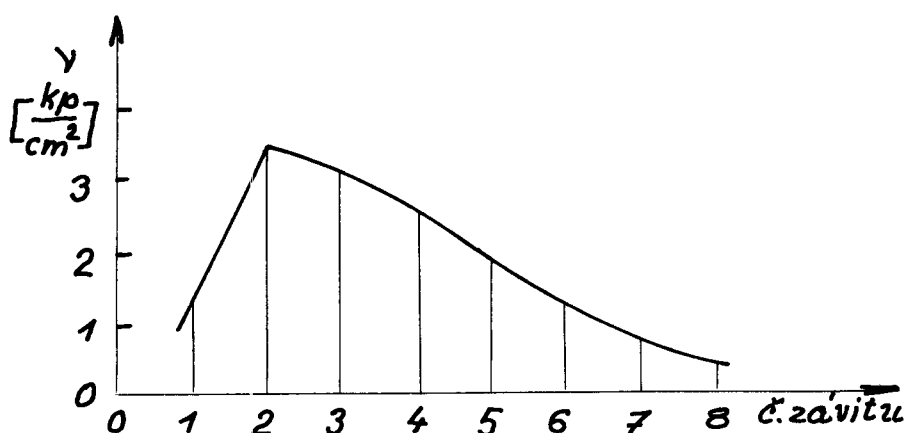
závit šroubu	1	2	3	4	5	6	7	8	9	10	11	12	13
řád m	23	185	185	178	178	35	265	225	17	13	08	05	-
Ψ	5,03	4,05	4,05	3,9	3,9	7,66	5,8	4,93	3,72	2,85	1,7	1,12	-



Obr.č.23a



Obr.č.23b

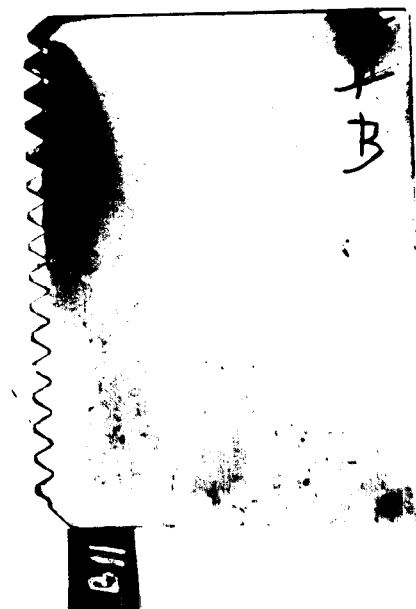


VZOREK 3 I; $v = m \cdot \frac{K}{t} \frac{kp_2}{cm^2}$; $\frac{K}{t} = 1,9$
 $K=0,4$; $t=0,211$ cm

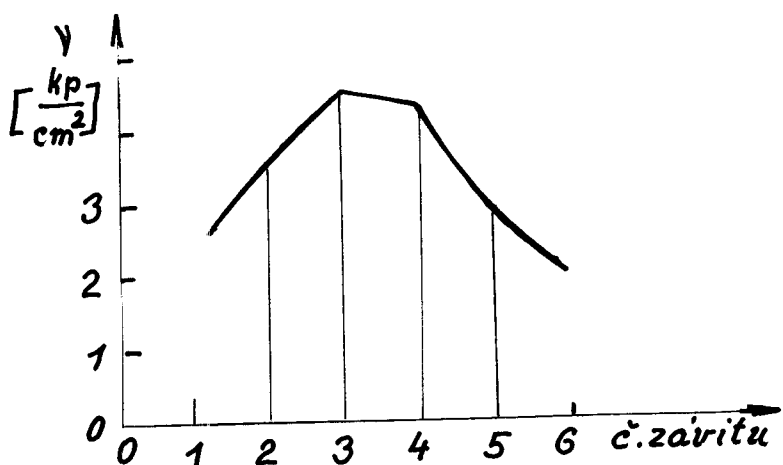
závit matice	1	2	3	4	5	6	7	8	9	10
řád n	0,7	1,75	1,6	1,31	0,95	0,6	0,3	0,1	-	-
γ	1,36	3,4	3,1	2,5	1,9	1,14	0,6	0,2	-	-



Obr.č.24 a

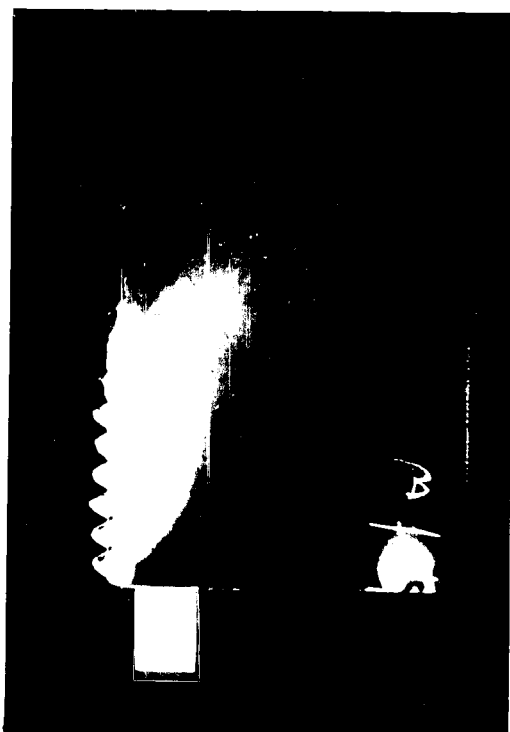


Obr.č.24b



VZOREK B II; $\gamma = m \cdot \frac{K}{t} \frac{kp}{cm^2}$; $\frac{K}{t} = 2,06$
 $K=0,4; t=0,194 \text{ cm}$

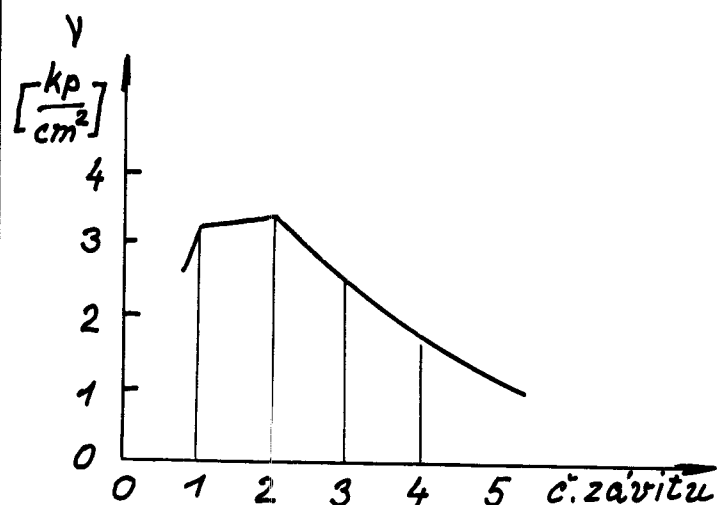
závit matice	2	3	4	5	6	7	8	9	10	11
řád m	17	22	21	13	1	04	01	-	-	-
γ	35	453	433	268	206	082	02	-	-	-



Obr.č.25a

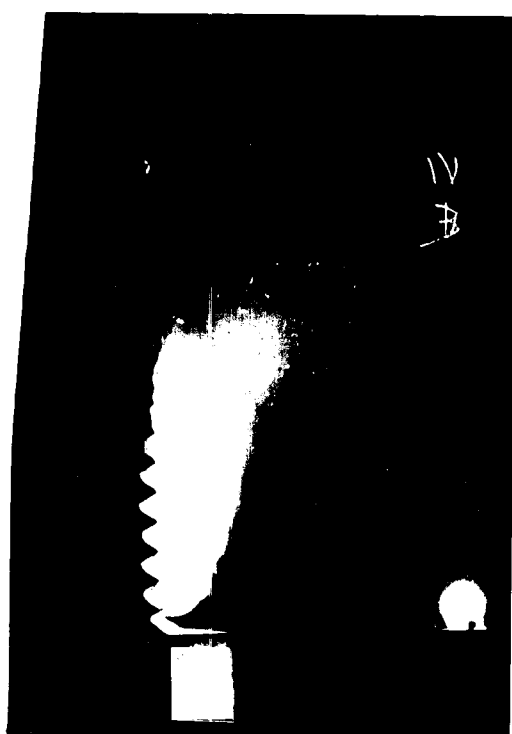


Obr.č.25b



VZOREK B III; $\gamma = m \cdot \frac{K}{t} \frac{kp}{cm^2}$; $\frac{K}{t} = 2,03$
 $K=0,4$; $t=0,197$ cm

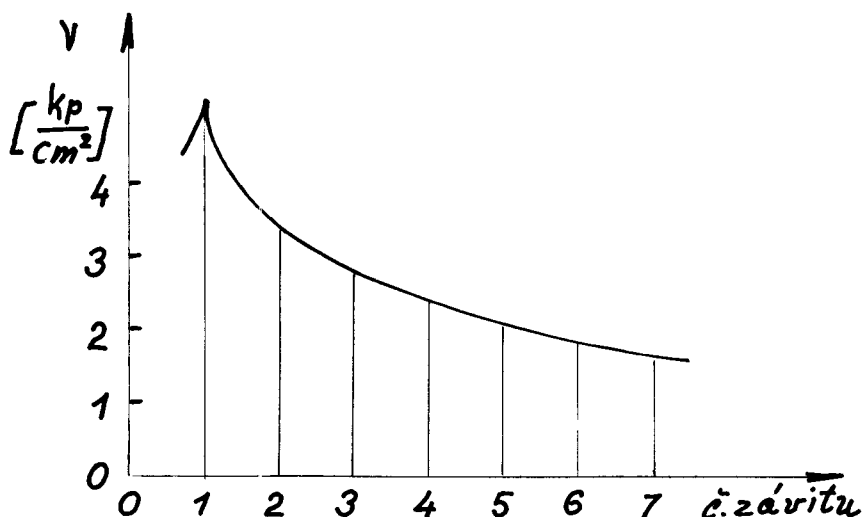
závit matice	1	2	3	4	5	6	7	8	9	10
řad m	1,61	1,62	1,29	0,8	0,7	0,6	-	-	-	-
γ	3,26	3,36	2,61	1,62	1,5	-	-	-	-	-



Obr.č.26a

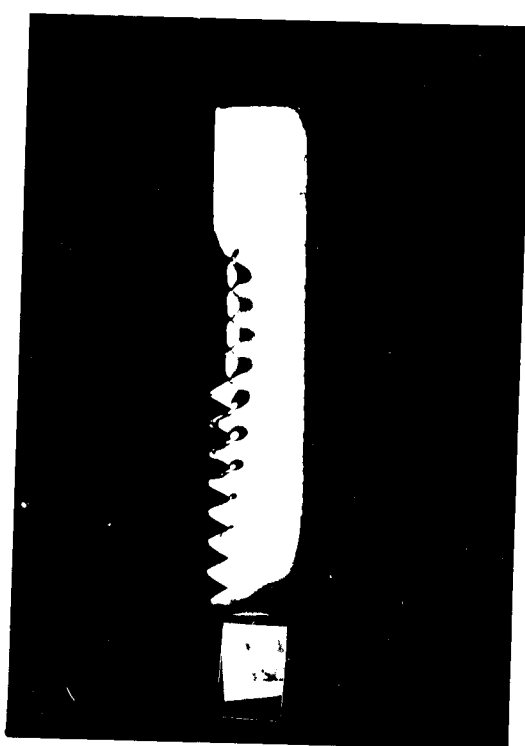


Obr.č.26b



VZOREK B IV; $\psi_m = \frac{K}{t}$; $\frac{k_p}{cm^2}$; $K=0,4$; $t=0,199$ cm

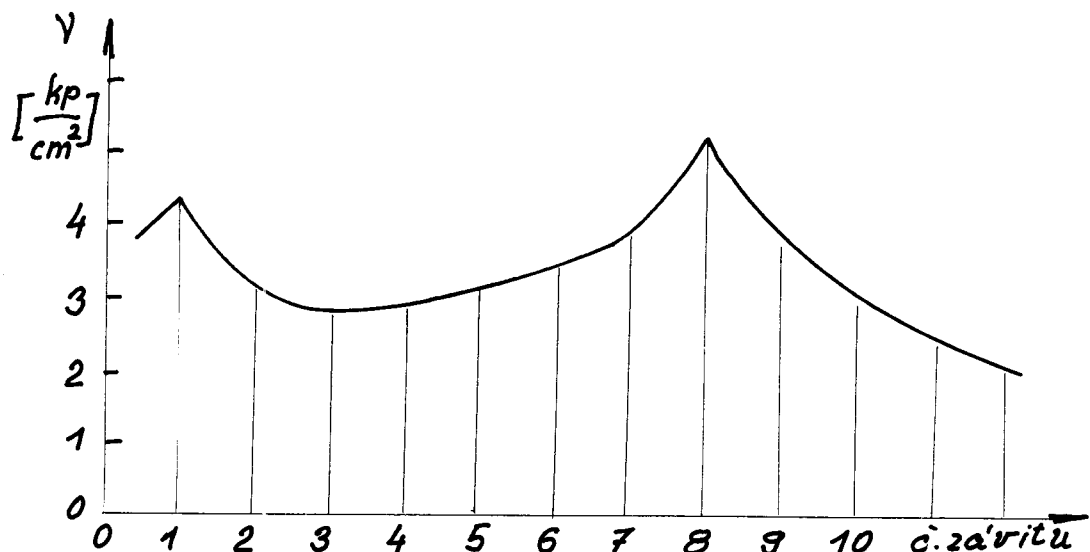
závit matice	1	2	3	4	5	6	7	8	9	10
řád n	2,6	1,62	1,56	1,22	1	0,8	-	-	-	-
γ	5,23	3,25	3,15	2,45	2,01	1,16	-	-	-	-



Obr.č.27a

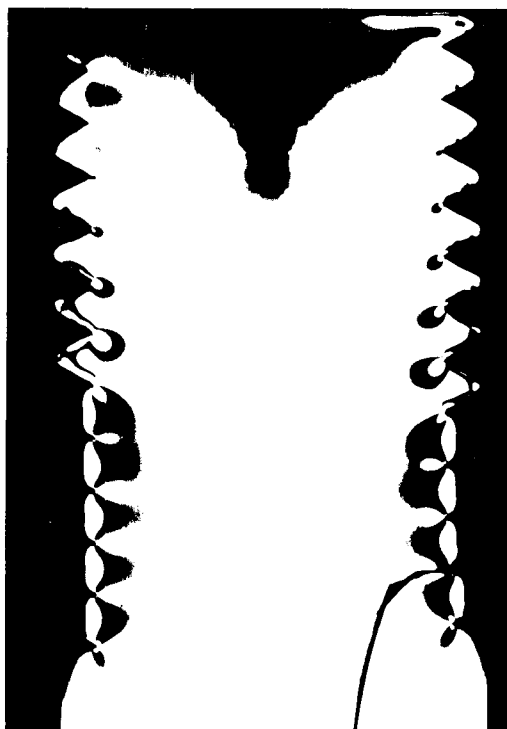


Obr.č.27b

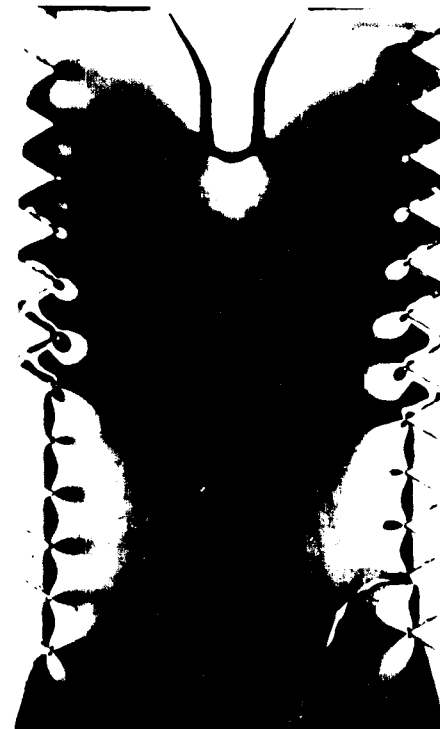


VZOREK BI; $V = m \cdot \frac{K}{t} \frac{kp}{cm^2}$; $\frac{K}{t} = 1,9$
 $K=0,4$; $t=0,211$ cm

závit šroubu	1	2	3	4	5	6	7	8	9	10	11	12	13
řád m	226	162	143	156	158	182	19	272	2	159	124	09	-
V	4,28	3,07	2,69	2,96	3	3,46	3,61	5,16	3,8	3,01	2,35	1,7	-

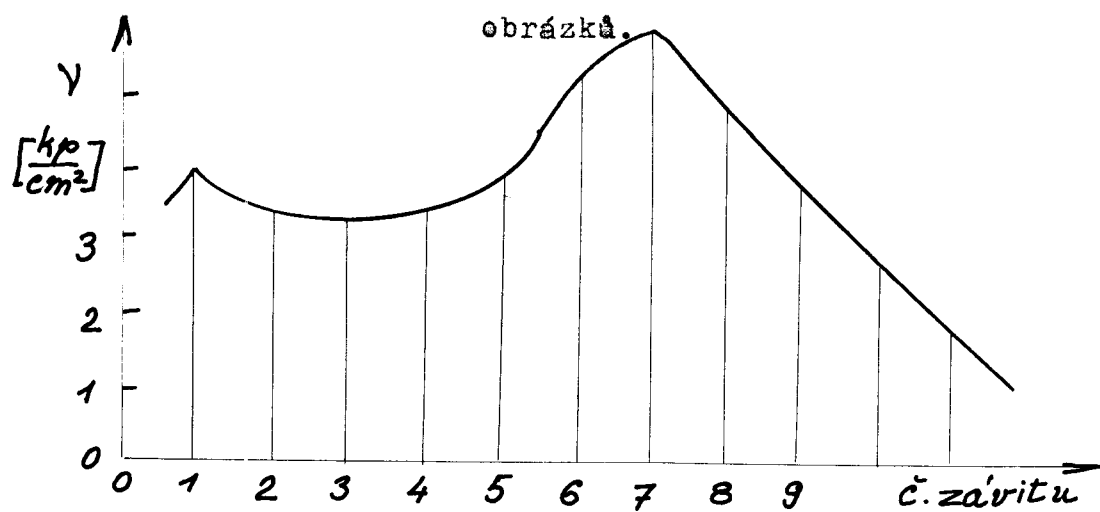


Obr.č.28 a



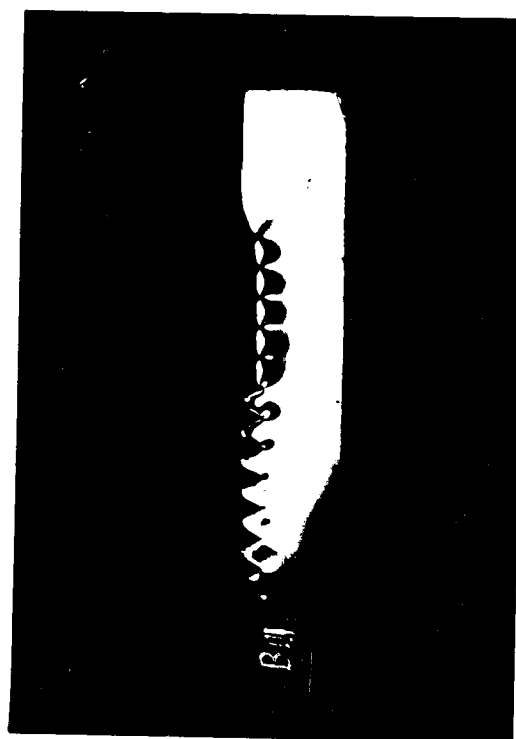
Obr.č.28 b

Graf a tabulka se vztahují k levé straně obou obrázků.



VZOREK B III; $\gamma = m \cdot \frac{K}{t} \frac{kp}{cm^2}$; $K=0,4$; $t=0,2$ cm $\frac{K}{t} = 2$

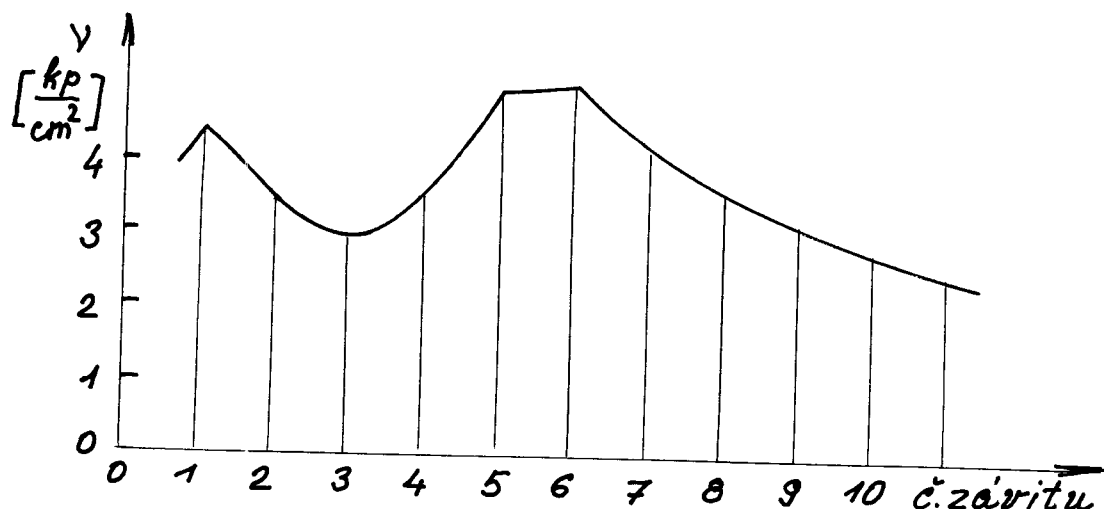
závit šroubu	1	2	3	4	5	6	7	8	9	10	11	12	13
řád m	2	1,7	1,72	1,82	1,78	2,7	3	2,7	2	1,35	0,95	0,2	-
γ	4	3,4	3,44	3,64	3,56	5,4	6	5,4	4	2,7	1,9	0,4	-



Obr.č.29 a



Obr.č.29 b



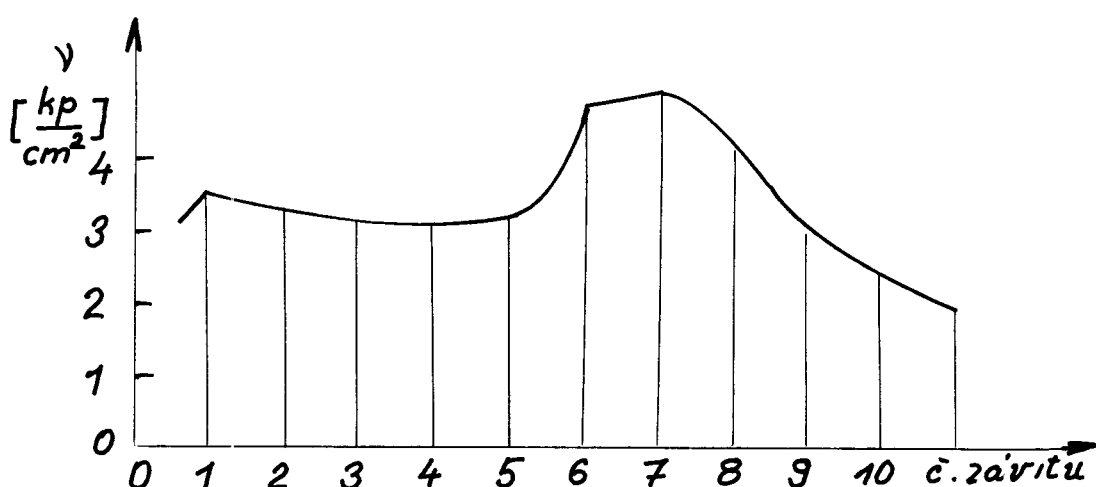
VZOREK B III; $\gamma = m \cdot \frac{K}{t} \frac{\text{kp}}{\text{cm}^2}$; $\frac{K}{t} = 2,1$
 $K=0,4$; $t=0,19 \text{ cm}$

závit šroubu	1	2	3	4	5	6	7	8	9	10	11	12	13
řád m	2,1	1,75	1,45	1,68	2,37	2,38	2,3	2,05	1,6	1,22	1,52	1,3	-
γ	4,42	3,68	3,05	3,54	5	5,01	4,34	4,32	3,37	2,57	3,18	2,74	-

Obrázek 30a a 30b je vyjádřen pravou
stranou obrázku 28a a 28b.

Obr.č.30 a

Obr.č.30b

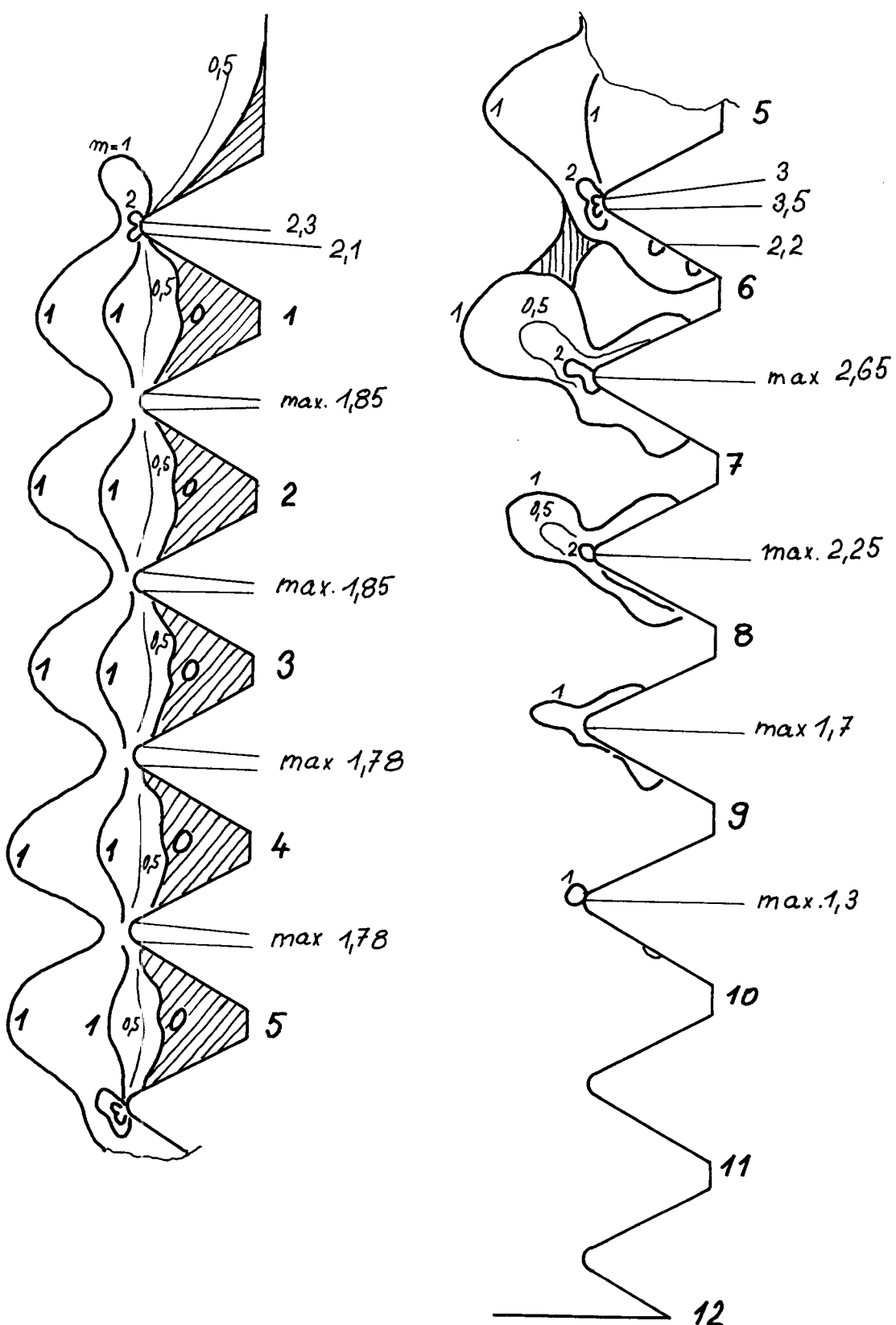


$$\text{VZOREK B IV; } \gamma = m \cdot \frac{K}{t} \frac{kp}{cm^2}; \quad \frac{K}{t} = 2,02 \\ K=0,4, \quad t=0,98$$

závit šroubu	1	2	3	4	5	6	7	8	9	10	11
řád	1,75	1,62	1,67	1,6	1,5	2,32	2,35	2,1	1,32	1,2	1
γ	3,53	3,37	3,39	3,23	3,03	4,7	4,85	4,25	2,67	2,42	2,02

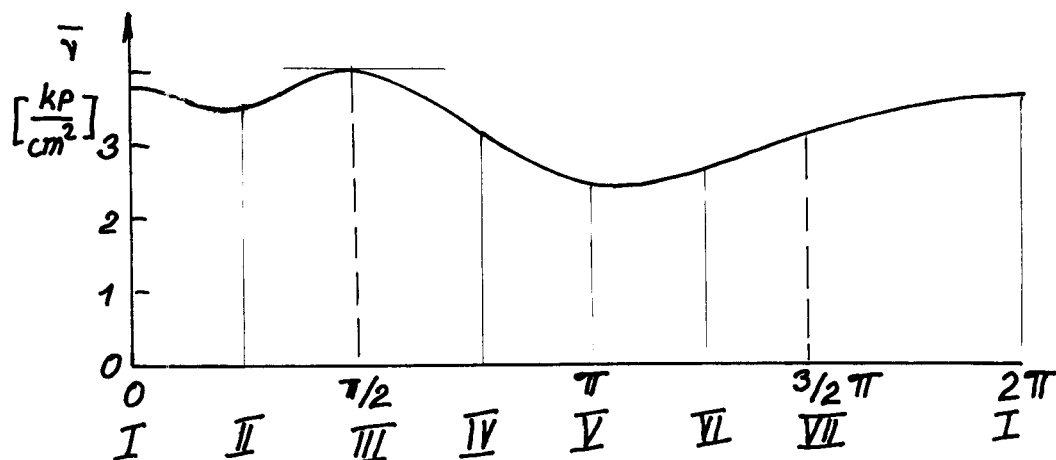
Cbr.č. 31

Průběh izochromat v řezu A VII šroubu



3. 3 Vyhodnocení výsledků měření.

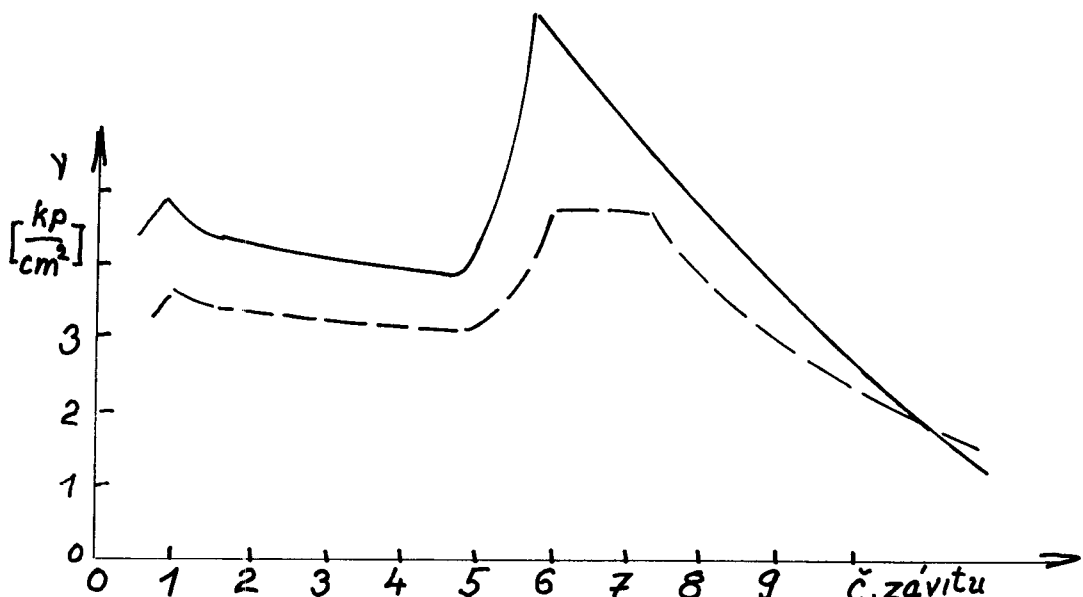
Na obr. č. 32 je zachycen průběh napěťových průměrů řezu po obvodu matice A. Tento graf určuje dva, na sebe kolmé řezy, ve kterých se objevilo maximum nebo minimum napětí. Ve směrech těchto řezů rozřezané šrouby porovnáváme v tabulce č. 6. Grafickým vyjádřením hodnot uvedených v tabulce č. 6 je obr. č. 33.



Obr. č. 32

závit č.	1	2	3	4	5	6	7	8	9	10
šroub A VII	503	405	405	39	39	766	58	493	372	285
šroub B IV	353	337	339	323	303	47	485	425	267	242
rozdíl A - B	15	068	066	067	087	296	095	068	105	043

Tabulka č. 6



Obr.č. 33

Tabulka č. 6 obsahuje vyhodnocení odpovídajících si řezů šroubů A a B. Z vyčíslených rozdílů a grafu č.33 plyne, že napětí A VII je větší než B IV, a to v průměru o $1,045 \text{ kp/cm}^2$. Porovnáme-li zbývající řezy šroubů stejným způsobem dostaneme:

Pro řezy AI, BI šroubů průměrný rozdíl $1,029 \text{ kp/cm}^2$.

Pro řezy AIII, BII šroubů průměrný rozdíl $-0,913 \text{ kp/cm}^2$.

Pro řezy A V, B III šroubů průměrný rozdíl $-0,42 \text{ kp/cm}^2$.

3 . 4 Závěry z měření týkající se závitových tolerancí.

Z grafu na obr.č.33 a z rozdílových hodnot uvedených v předešlém odstavci plyne, že závitové spojení s větší výhlí bude vykazovat větší koncentrace napětí, což je ve shodě s výsledky měření zaznamenanými pod obr.č. 22, na listu naměřených hodnot pro vzorek A VII šroubu.

4. 0 Ekonomická úvaha o významu metody.

Fotoelasticimetrická metoda zjištování napětí v závitovém spojení je jediná metoda, která dává vizuálně velmi názorný obraz o průběhu napětí v celém objemu šroubu i matice.

Výsledky poměrně velmi zjednodušených zkoušek ukázaly, že při větší výli mezi šroubem a maticí bude větší napětí v exponovaných místech, aniž by se zvětšovala zatěžovací síla. Výsledky dobře patrné z grafu na obr.č.33 případně v přehledu naměřených údajů. Teuto metodou by při dostatečném množství vzorků bylo možno určit přesnější zákonitosti vlivu výle na napětí ve šroubu. Jejich poznáním by bylo možné zpřesnit dosavadní způsob výpočtu pevnosti šroubového spoje, což by jistě znamenalo úsporu na materiálu, případně jeho lepší využití. Naproti tomu by vzrostly náklady na výrobu přesnějšího spojení. Důkladnější analýza užívaných závitových tolerancí, by jistě přispěla k ustálení závitových tolerancí, ke snížení počtu tolerančních polí.

Seznam příloh.

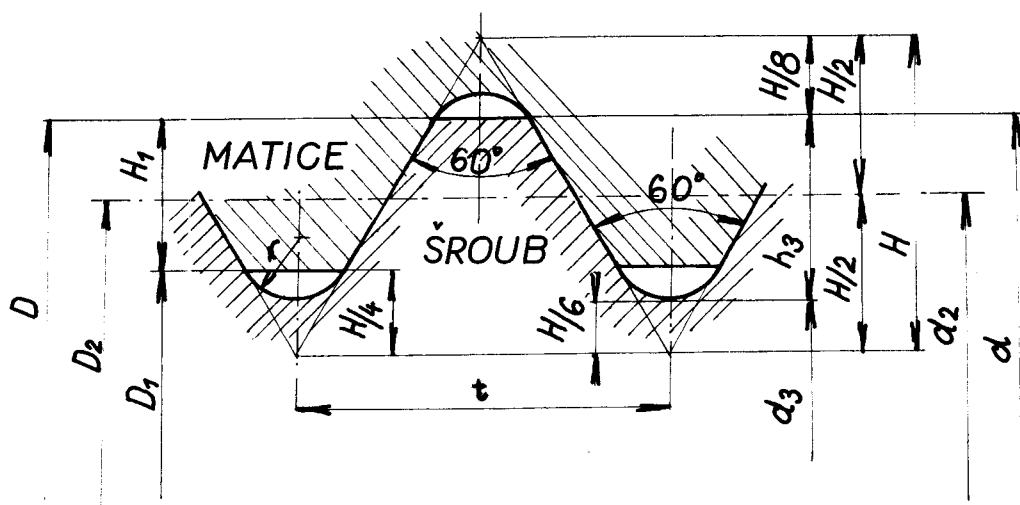
- Příloha č. 1 - Závitový profil ISO
 Příloha č. 2a - detail šroubu
 Příloha č. 2b - detail matice
 Příloha č. 3 - zatěžovací zařízení
 Příloha č. 4 - vzorkovnice

Seznam použité literatury.

- DP - ST 439 / 66 Karel Radostný (1)
 Ing. M. Milbauer - ing. M. Perla CSc:
 Fotoelasticimetrické přístroje
 a měření metody, nakladatelství ČSAV,
 Praha 1969 (2)
 Fotoelasticimetrie a příklady jejího
 použití; nakladatelství ČSAV, Praha 1961 (3)
 Ing. M. Milbauer:
 Fotoelasticimetrie; SNTL Praha 1953 (4)
 Prof. ing. Frant. Pospíšil:
 Závitová a čroubová spojení; SNTL Praha 1968 (5)
 Wiegand:
 Berechnung von Schraubenverbindungen. (6)
 Návrhy ISO pro závitové tolerance. (7)

Příloha č. 1

ZÁVITOVÝ PROFIL ISO



$$H = 0,866 t$$

$$H_1 = 0,5412 t$$

$$\text{průměr } d = D$$

$$\text{steupání } t$$

$$\text{střední } \varnothing d_2 = D_2$$

$$h_3 = 0,6134 t$$

$$r = \frac{H}{6} = 0,144 t$$

maly průměr šroubu d_3

maly průměr matice D_1

mosná hloubka H_1

Rezměry pro M 24 - H6 / g6

$$\varnothing d = 24 \quad -0,048 \\ \quad \quad \quad -0,423$$

$$\varnothing D_1 = 20,752 \quad + 0,500 \\ \quad \quad \quad + 0,000$$

$$\varnothing d_2 = 22,051 \quad -0,048 \\ \quad \quad \quad -0,248$$

$$\varnothing D_2 = 22,051 \quad + 0,265 \\ \quad \quad \quad + 0,000$$

$$\varnothing d_3 = 20,32$$

$$r = 0,43$$

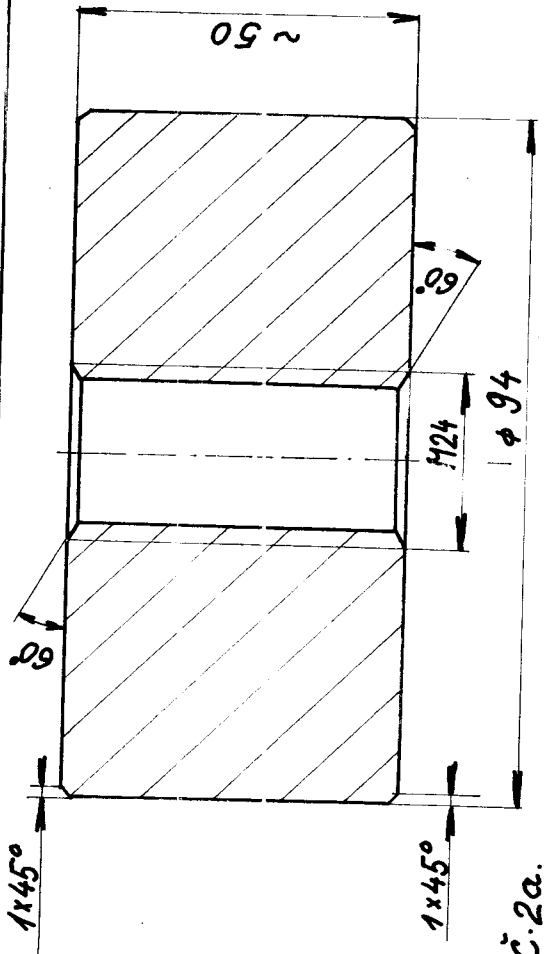
VŠST Liberec	Průběh napětí v závitovém spojí-metodou fotoelastickimetrickou	Katedra KOE
Fakulta strojní		DP-ST-687/69

ZÁVĚR

Závěrem bych chtěl poděkovat s.Prof.ing.J.Draskému CSc za poskytnutí některých materiálů a pomoc při organizačním zajištění výroby vzorků.

Převížná část přístrojů a zařízení, které jsem používal, jsou unikátní a vyrobena v HÚ ČSAV. Za velmi ochotné poskytnutí materiálů, přístrojů a zařízení, cenné rady a předání zkušeností jsem nesmírně zavázán všem pracovníkům fotoelastické laboratoře HÚ ČSAV v PRAZE.

v LIBERCI dne 10.července 1969



PRÍLOHA Č.2a.

EPOXY 2521 2 DR-ST-687/69

EPOXY CHS 110
baudr.

1:1

VSS

MATICE

DP-ST-687/69

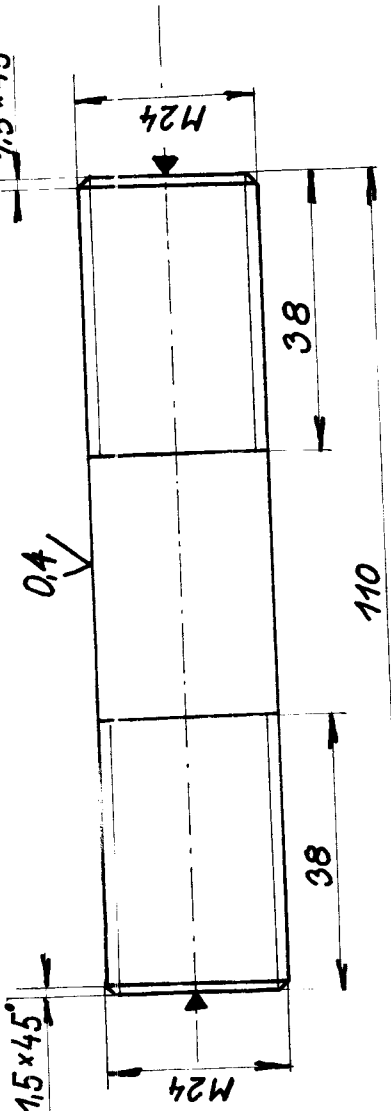
1,6

$1,6/\sqrt{0,4}$

$1,5 \times 45^\circ$

$0,4/\sqrt$

$1,5 \times 45^\circ$



PŘÍLOHA Č. 2b. ZÁVIT BROUSIT NA ZAHLTOVÉ BRUŠCE

DP-ST-687/69

EPOXY 2521

1

EPOXY CHS 110

Barták

1:1

VSSST

ŠROUB

DP-ST-687/69